Klinische Chemie und Laboratoriumsdiagnostik Vorlesung: Identifikation neuer Gene als Krankheitsursachen



Dr. rer. nat. Stephan Rust

Allgem. Pädiatrie, Klin. Kinder- u. Jug.-med.,
Stoffwechsellabor Prof. Marquardt
48149 Münster

Tel.: 0251 83-55182 rusts@uni-muenster.de

stephan.rust@ukmuenster.de



"Identifikation neuer Gene als Krankheitsursachen"

Neue Gene - Warum?

Das menschliche Genom ist doch komplett bekannt?



- Fast aber seine Funktion noch lange nicht.
- Identifikation neuer Gene als Krankheitsursachen

Volkskrankheiten

Differenzierung von Ursachen und damit bessere Vorhersage und gezieltere Therapie WER

soll überhaupt therapiert werden und WIE

Stoffwechsel verstehen, alle Gene im Pathway kennen, um Angriffspunkte für Therapie zu definieren.

seltene Krankheiten

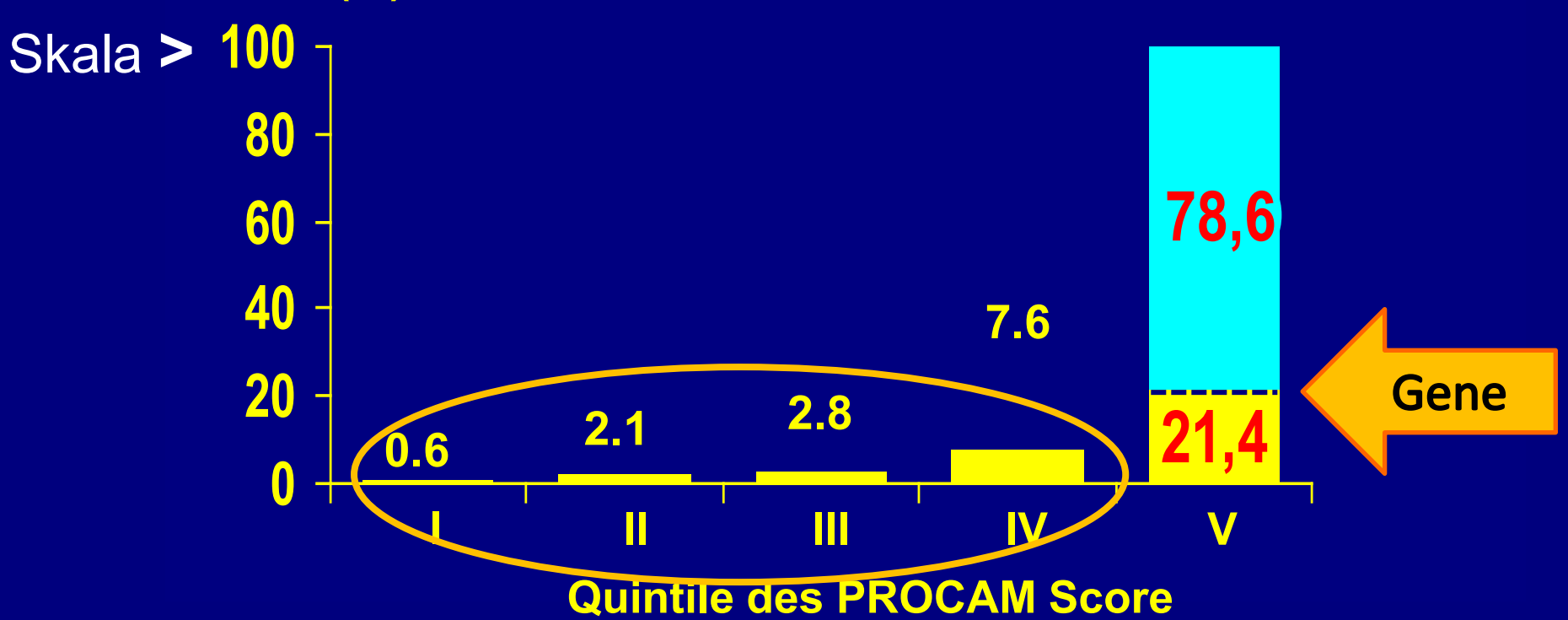
pränatale Diagnose, und evtl. auch Ideen für Therapie (klassiches Beispiel PKU)



Der PROCAM Algorithmus



Herzinfarkte (%) in 10 Jahren

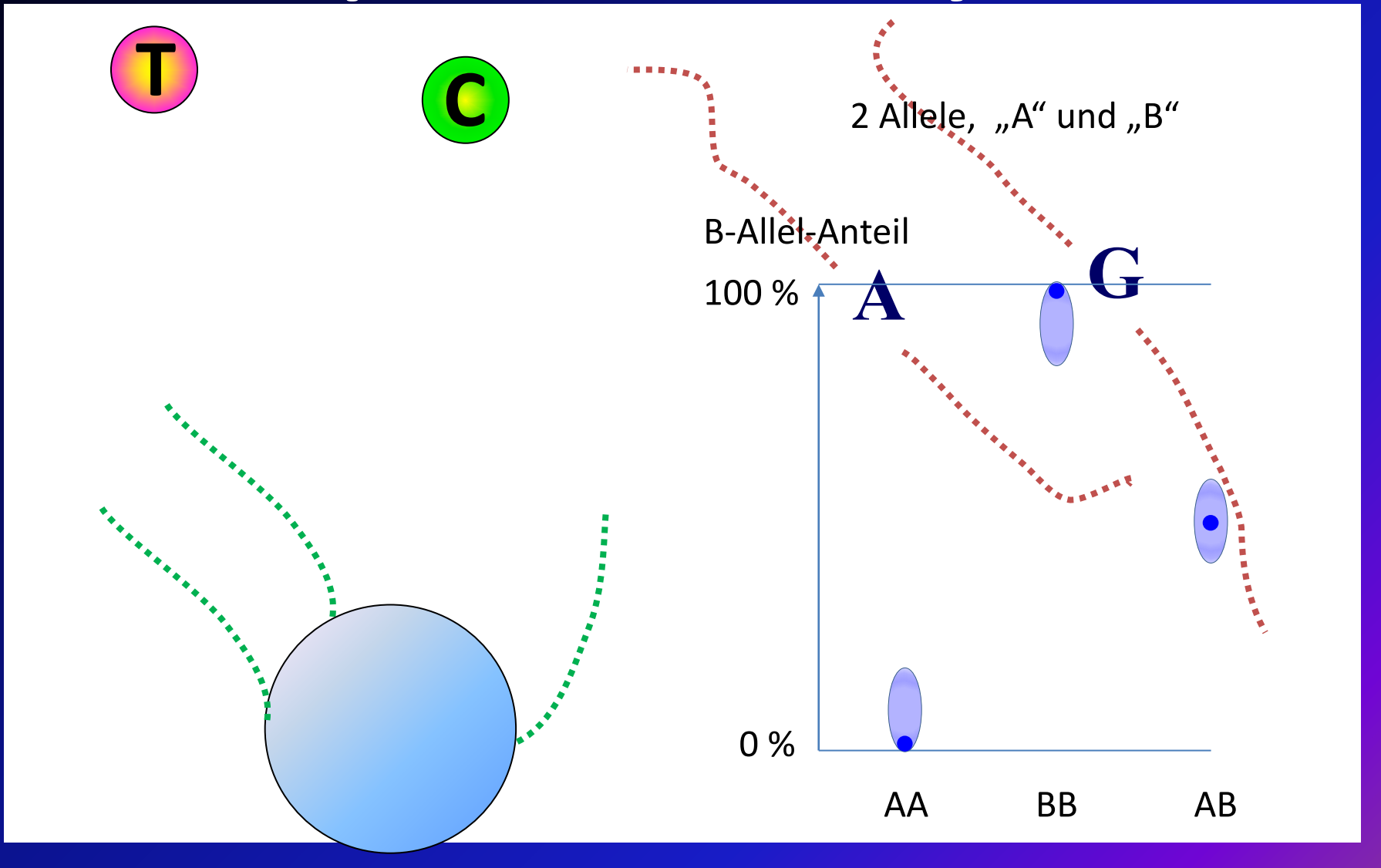


Unabhängige Parameter Alter, systolischer Blutdruck, LDL-Cholesterin, HDL-Cholesterin, Triglyzeride, Dabetes, Rauchen, familiäre Belastung

325 tödliche und nicht-tödliche Herzinfarkte bei 4818 Männern im Alter von 35-65 Jahren

Technik:
Vererbung in Familien und in großen
Case-Control Studien
mit **SNP**s
(single nucleotide polymorphisms)

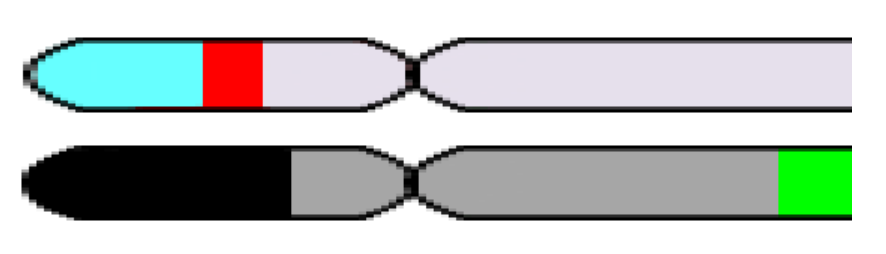
Prinzip bei Illumina: Synthese



Identifikation der ursächlichen Gene bei rezessiven

Erbkrankheiten

1. Grobe Lokalisation

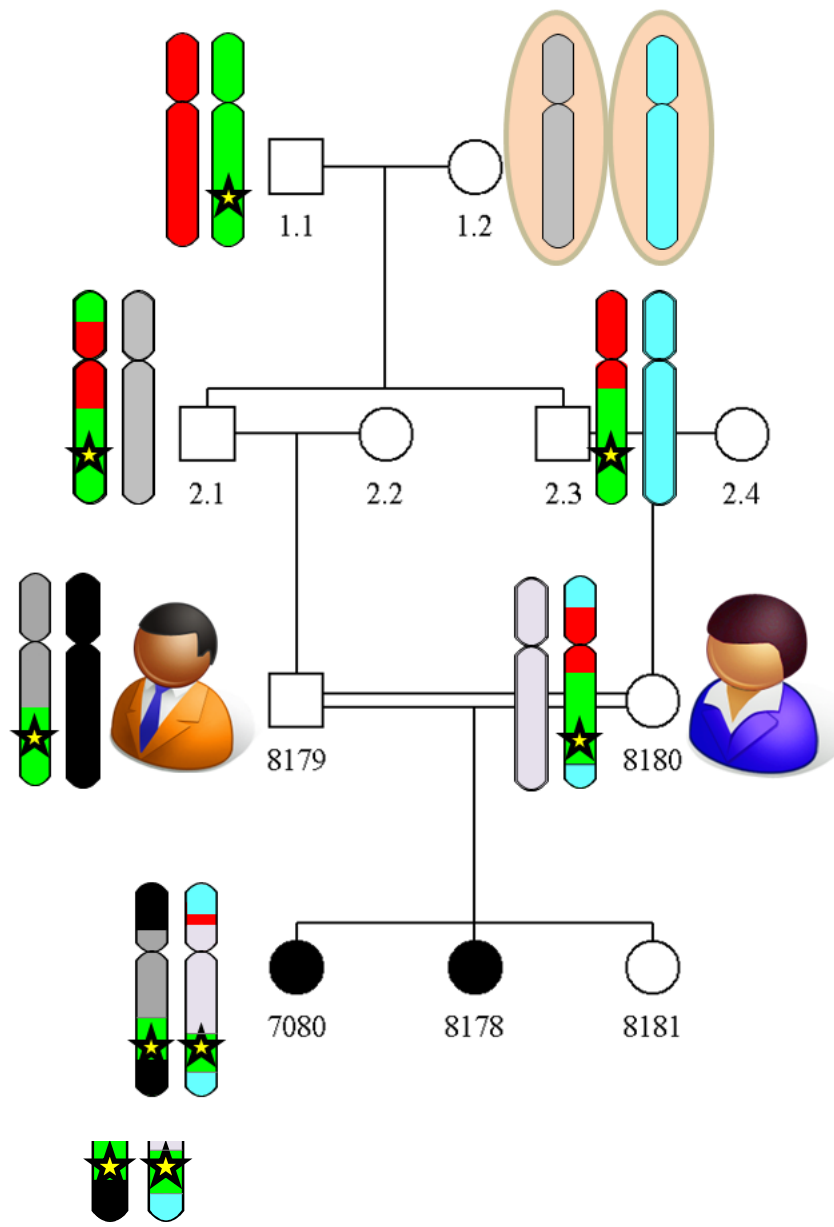


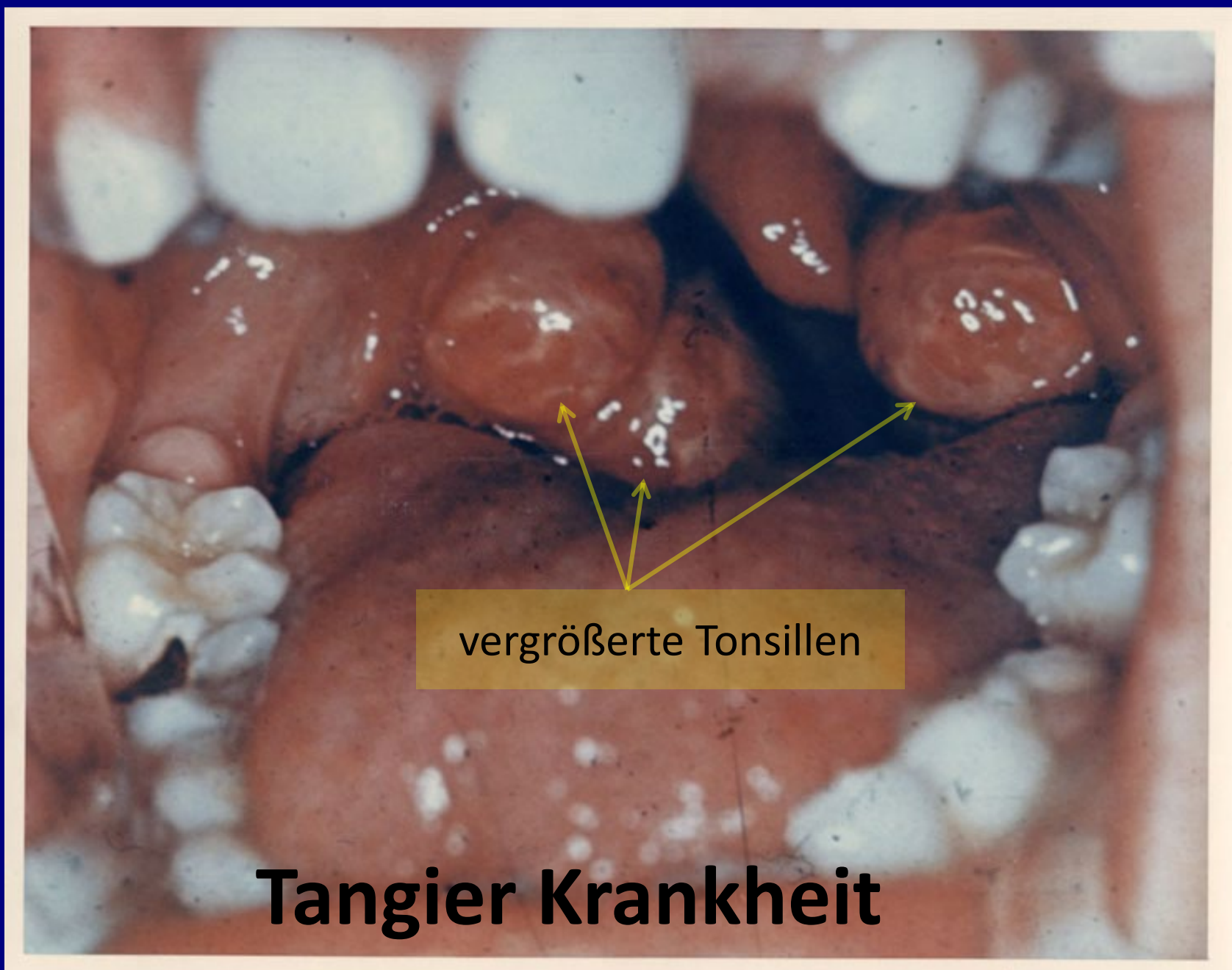
... mit Illumina SNP-Chips



Jeder blaue Punkt = ein SNP-Genotyp:

AA (nahe bei 0.00))
AB (im mittleren Bereich)
BB (max. Signal B)





Tangier Krankheit

- Tonsillen
- Schaumzellen auch bei Heterozygoten in Mukosa des Intestinums und Dickdarms
- Hepatosplenomegalie
- Periphere Neuropathie
- Thrombozytopenie
- Erhöhte Wahrscheinlichkeit für koronare Herzkrankheit
- HDL-Defizienz

HDL / LDL -Cholesterin

Der HDL-Cholesterinspiegel ist teils

- genetisch bedingt (Geschlecht, Zwillingsstudien),
- durch Verhalten (Rauchen ↓, Sport ↑) beeinflußt

Mittelwerte Deutschland

Frauen: 55 mg/dl

Männer: 45 mg/dl

Niedriges HDL

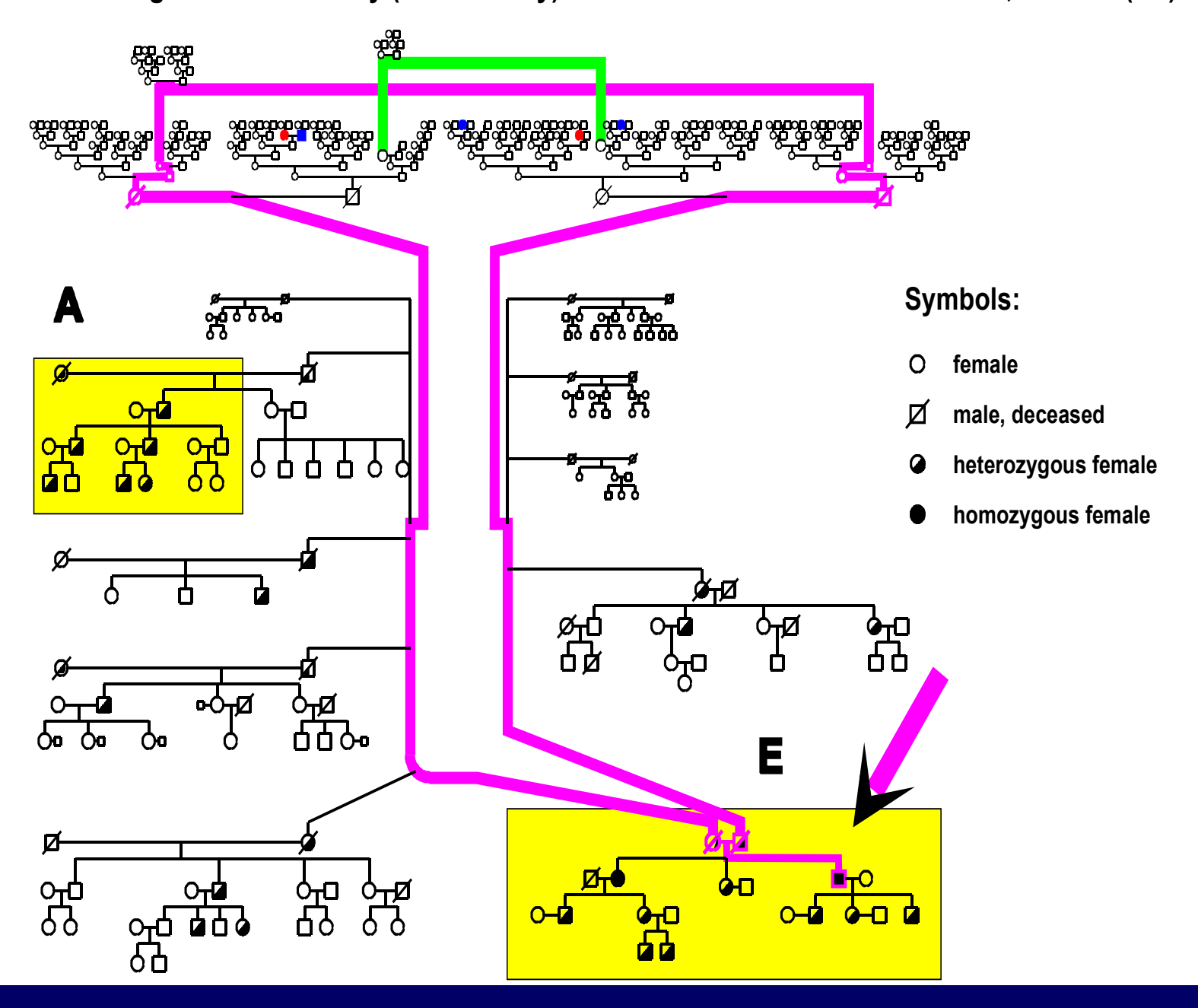


höheres Infarktrisiko

LDL im Überschuss wird von Makrophagen aufgenommen, ... => Arteriosklerose

HDL kann Cholesterin zur Leber zurückführen.

Pedigree of a Tangier disease family (1640 - today) G. Assmann et al. J. Clin. Inv. 60, 1025-35 ('77)



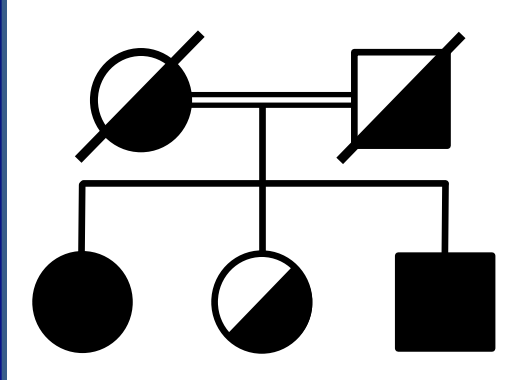
Identifikation des Tangiergens

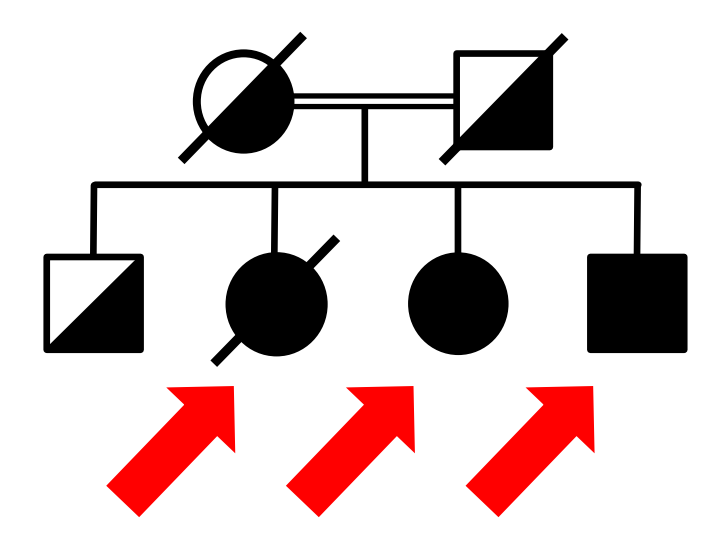


Unterschiedliche ABCA1 Defekte unterschiedlicher Effekt

TD1 (CAD -)

TD2(CAD+)

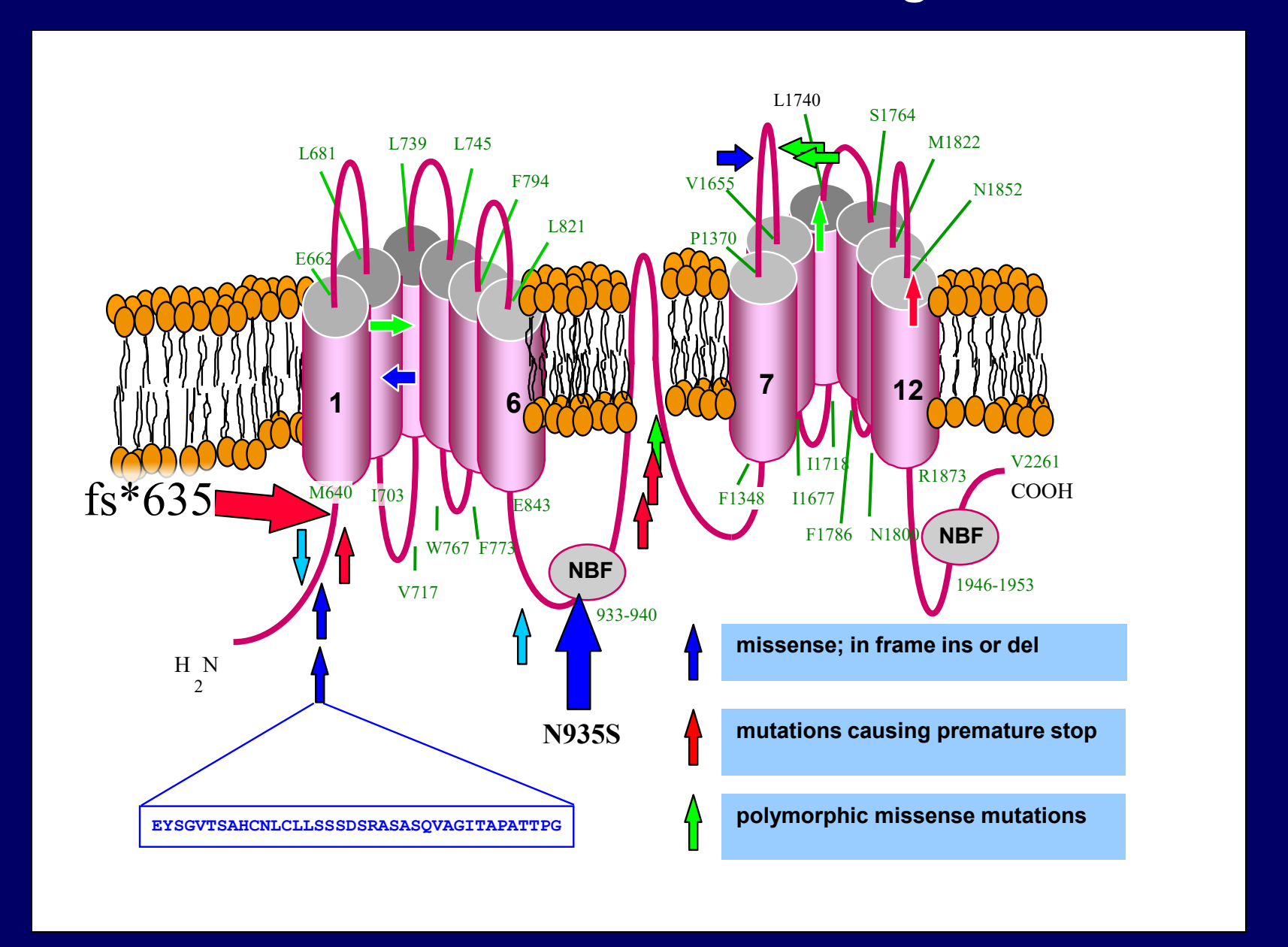




Asn935Ser

c.1823delG : Leu608Leu; L608fsX635

Structure of ABCA1 - Mutations in Tangier Disease



Effekt der Mutationen im ABCA1:

..fs*635: vorzeitiger Abbruch, RNA wird weitgehend

abgebaut (-> nonsense mediated decay),

keinerlei Funktion mehr,

HDL-Defizienz

Oxysterole im Blut,

Arteriosklerose, Herzinfarkt

Asn935Ser: ABCA1 - NBF1 ist defekt

HDL-Defizienz

ABER: Oxysterol-Transport noch möglich

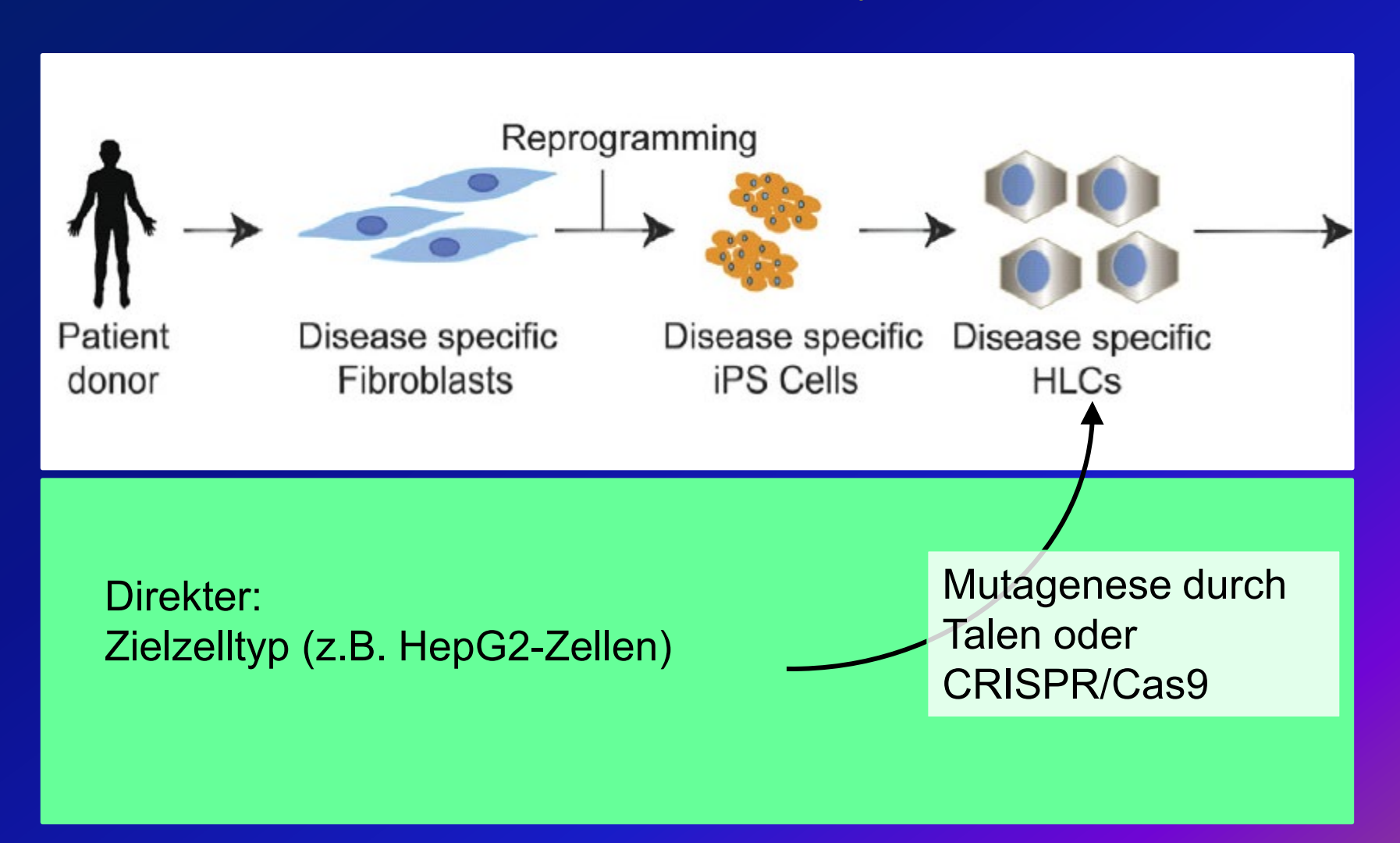
KEINE Arteriosklerose

=> das Wissen über die konkrete Mutation ist beim ABCA1 wichtiger als der Effekt auf das HDL-Cholesterin

Hepatocyte like cells

Patientenspezifische Zellkulturmodelle

- Beweis der funktionellen Relevanz von Mutanten und nach Korrektur als Therapiemethode

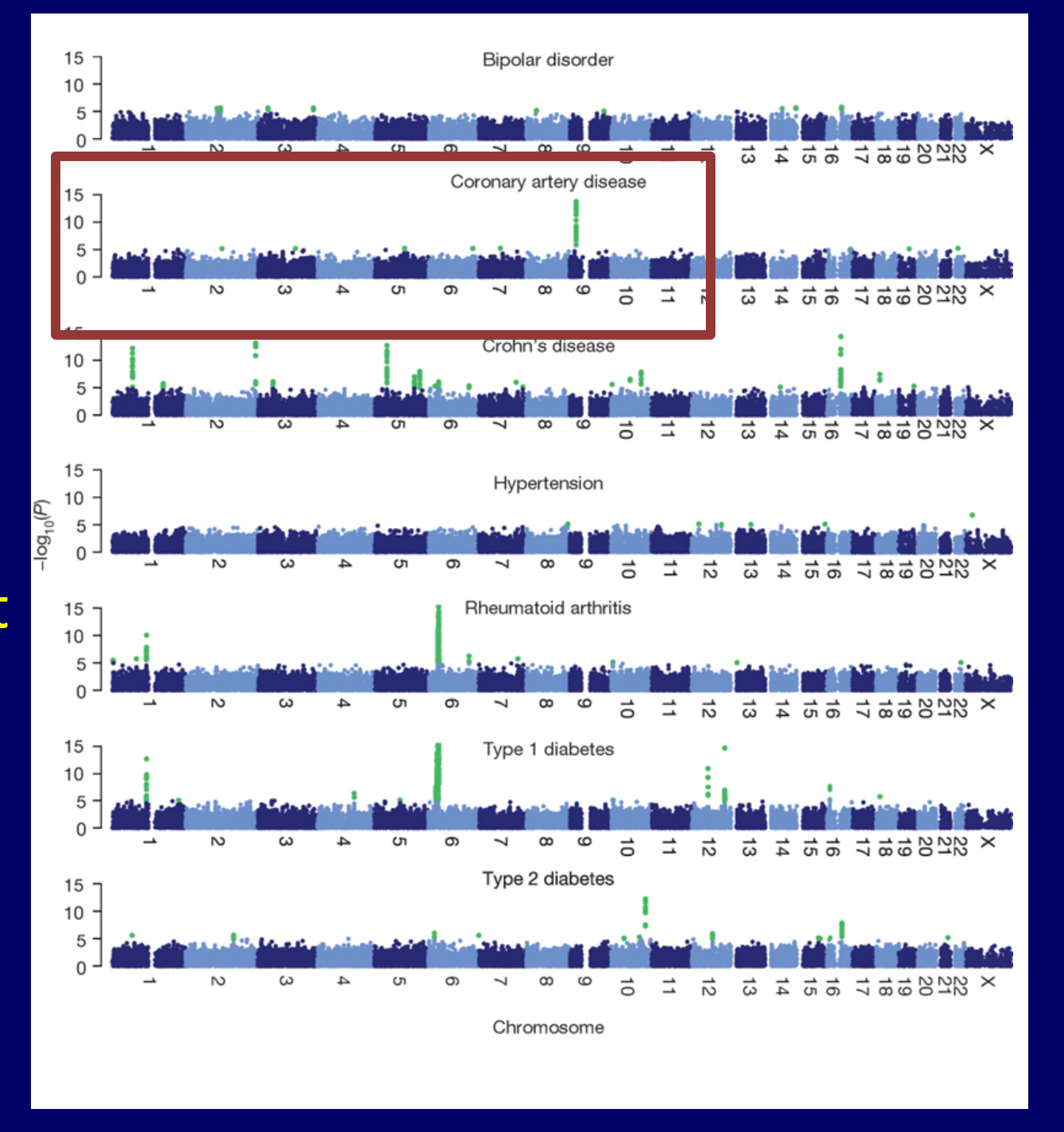


SNPs – auch geeignet für große Case-Control Studien "GWAS" (genome wide association study)

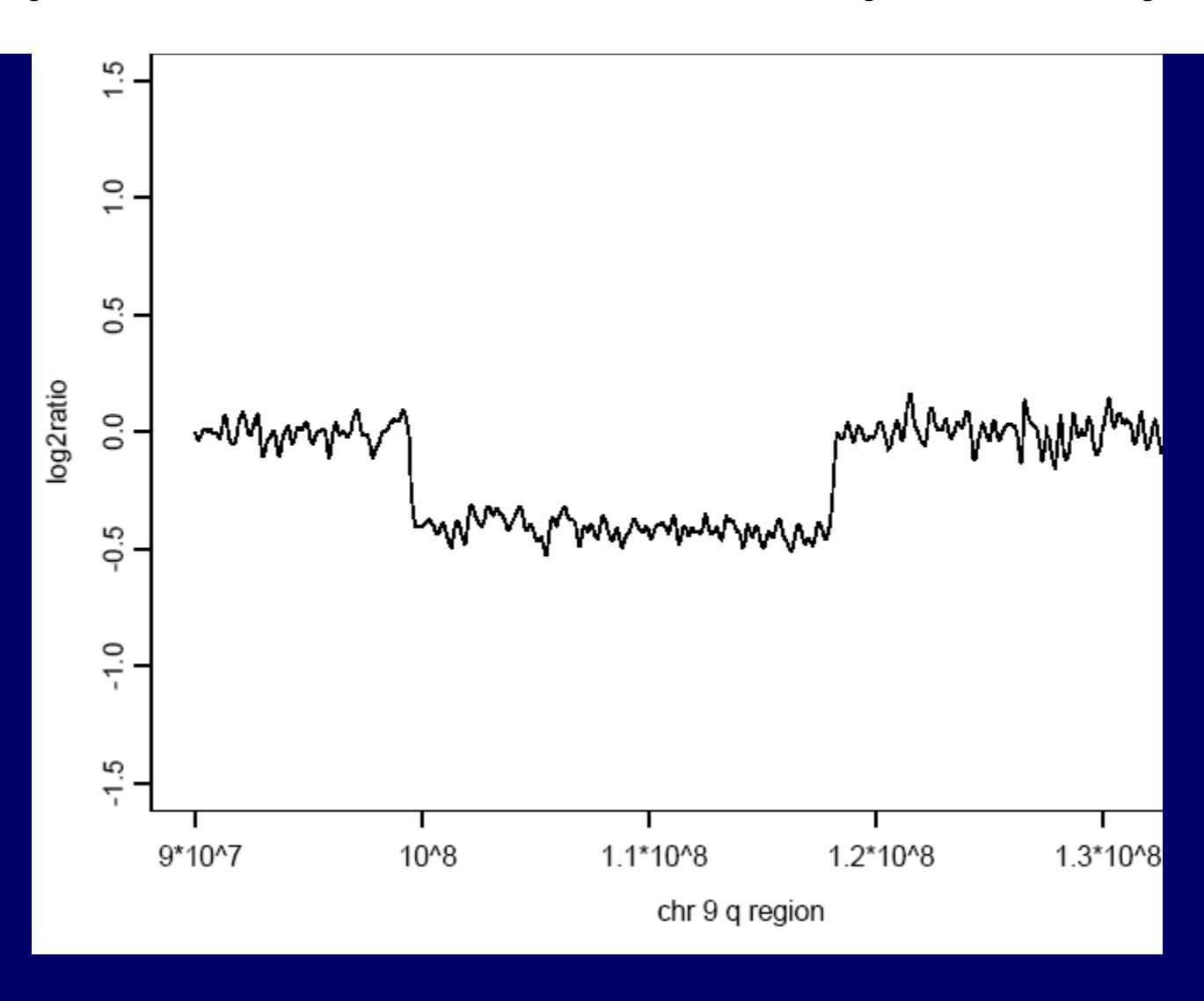
 auch geeignet, wenn kein meßbarer Phänotyp außer Endpunktereignis; geeignet besonders für häufige Variante mit schwachem Effekt

Ergebnisse Mai-Juni 2007:

Wellcome Trust case control consortium: 14 000 cases, 3000 controls



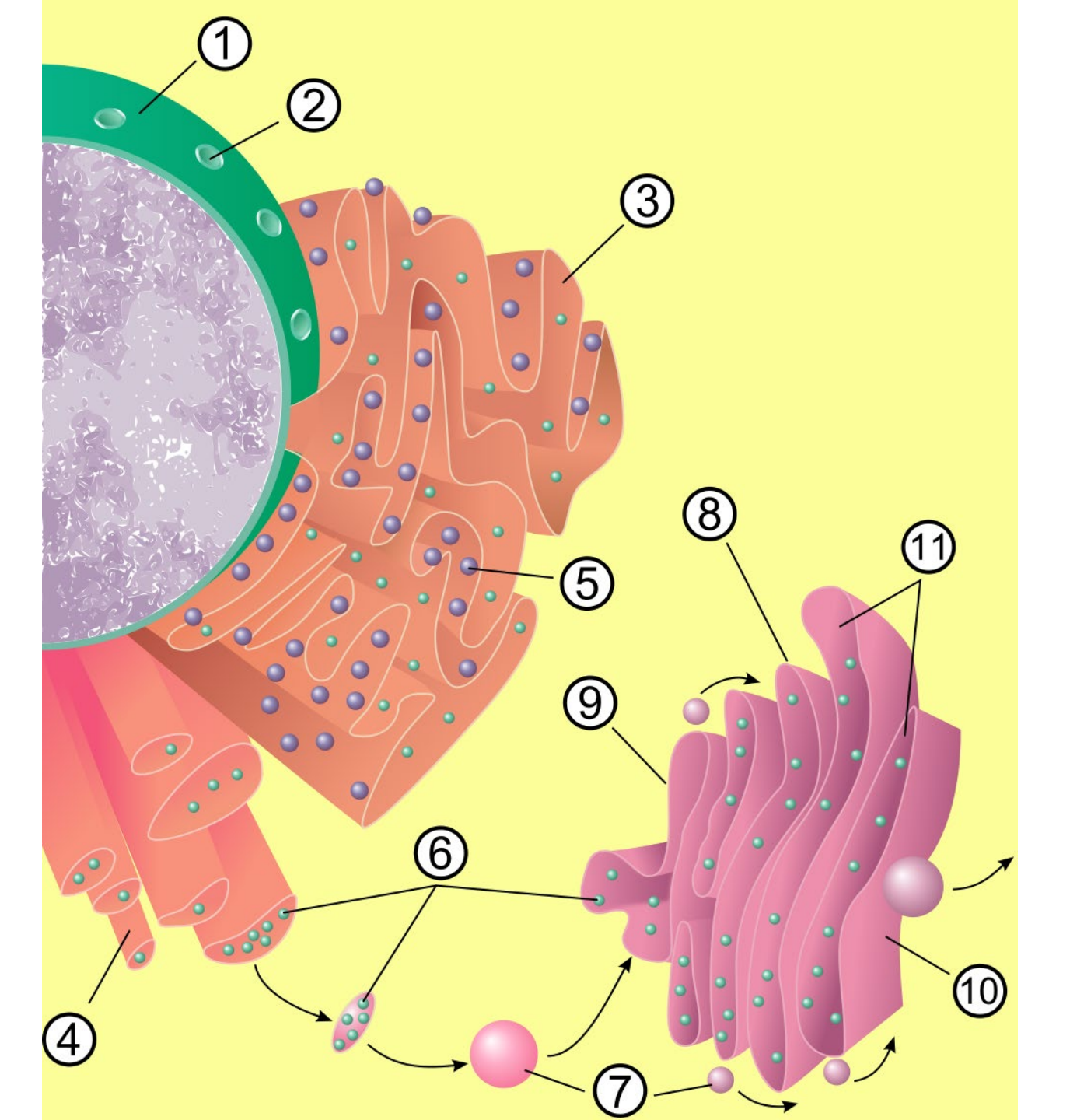
9q-Deletion in der Chip-Analyse:



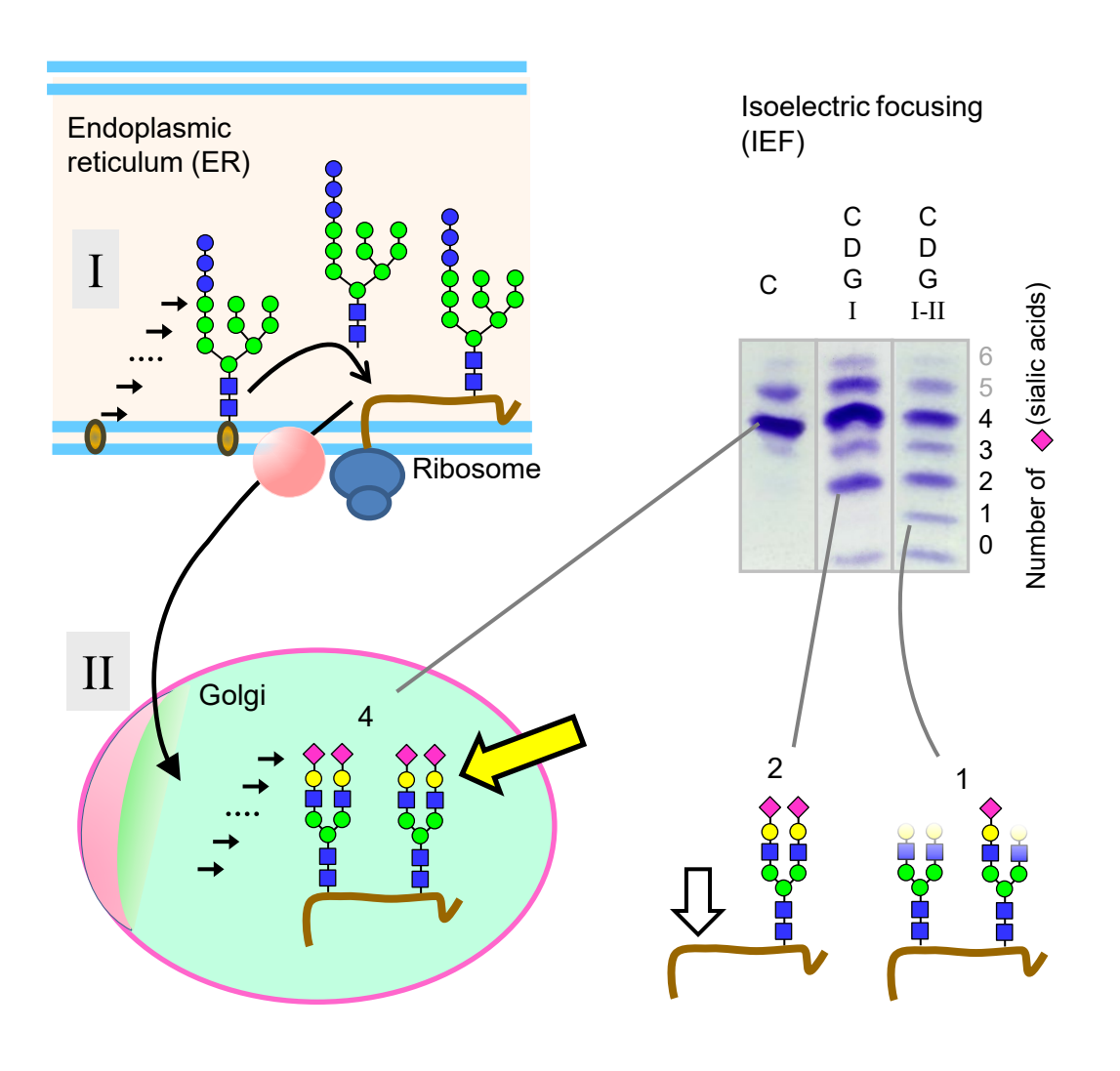
Conrad DF et al. Nat Genet. 2006 Jan;38(1):75-81

me estimate that typical individuals are hemizygous for roughly 30-50 deletions larger than 5 kb, totaling around 550-750 kb of euchromatic sequence across their genomes. The detected deletions span a total of 267 known and predicted genes.

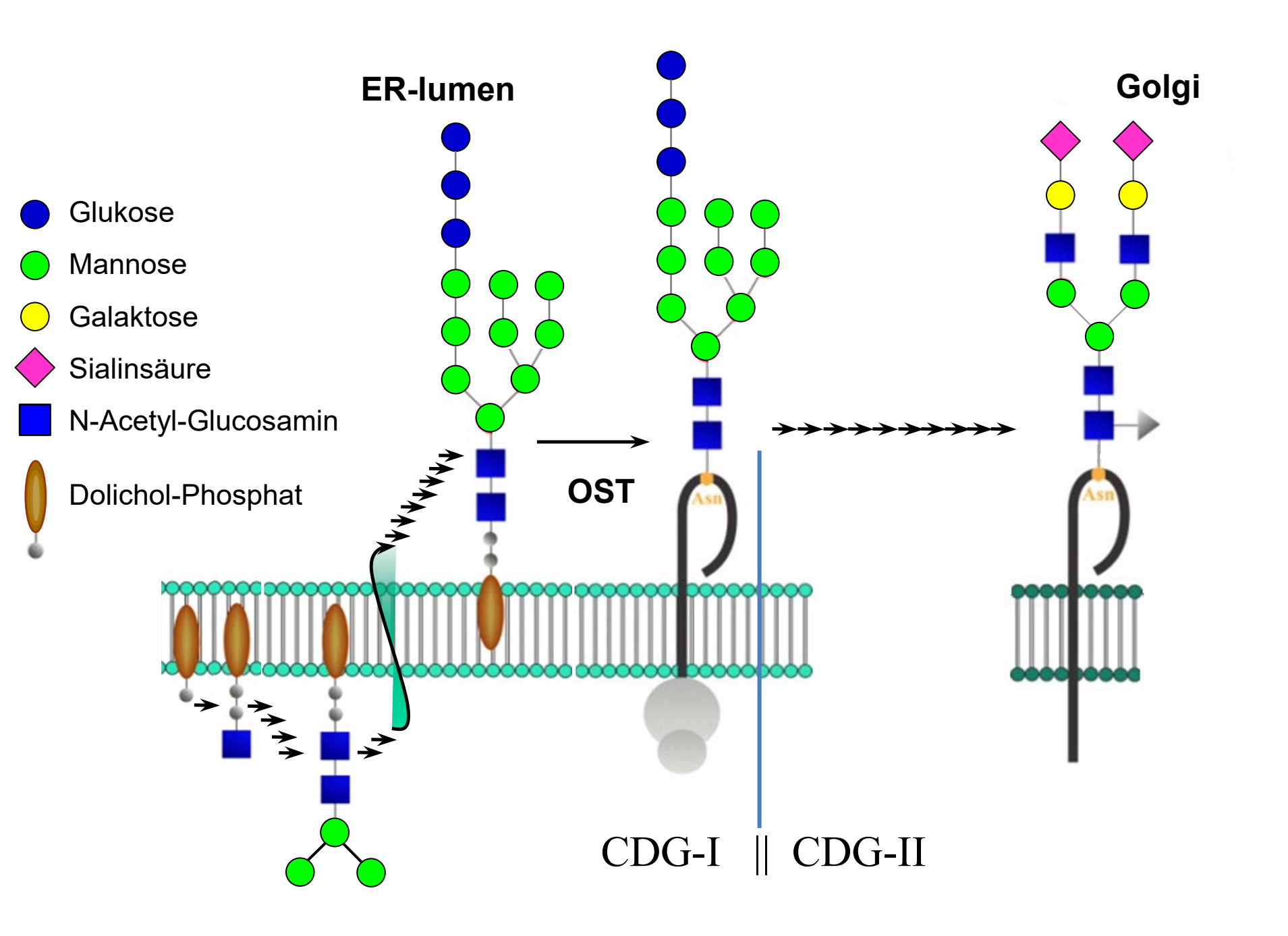




- 1 Kernmembran
- 2 Kernpore
- 3 Rauhes ER
- 4 Glattes ER
- 5 Ribosom
- 6 Proteine in Vesikel
- 7 Transportvesikel
- 8 Golgi
- 9 Cis-Golgi
- 10 Trans-Golgi
- 11 Zisternen



- Dolichol-anchor for glycane precursor in ER membrane.
- N-acetylglucosamine, mannose, glucose, galactose, ♦ sialic acid



Glykoproteine, N-Glykosylierung:

Serum Transferrin: 679 Aminosäuren, 2 Glykosylierungsstellen:

N-Glycosylierung am Asn in

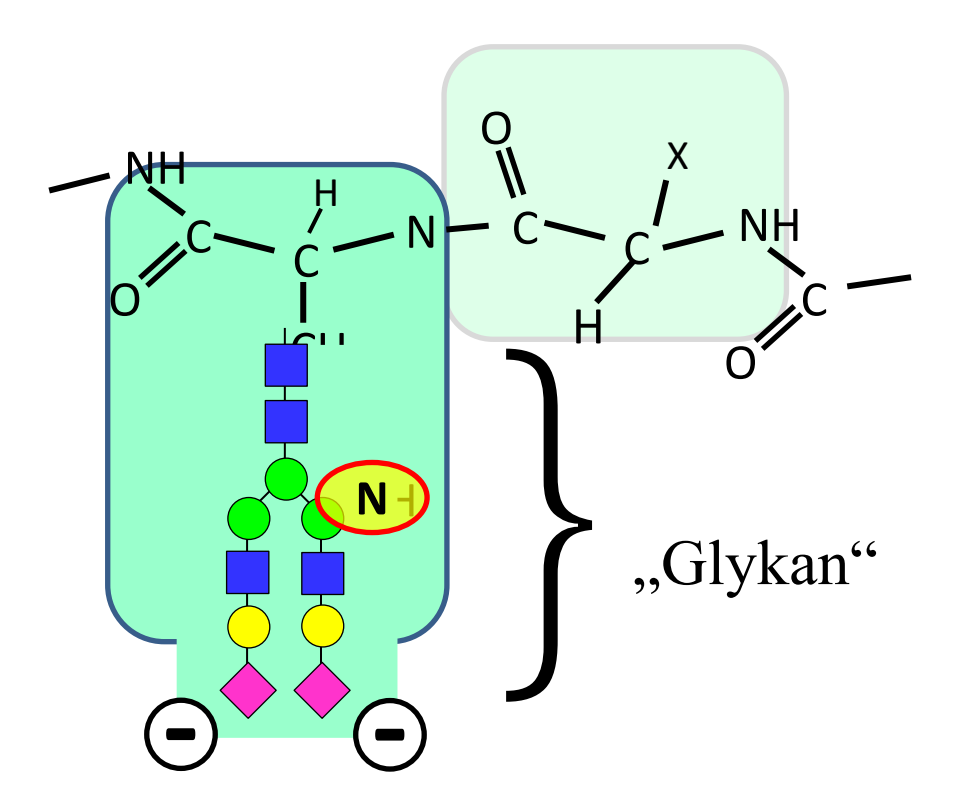
 \dots - Asn – X – Ser - \dots oder \dots - Asn – X – Thr - \dots X : nicht

Pro

im Transferrin:

... Asn Tyr **Asn** Lys **Ser** Asp Asn ...

... Gly Ser **Asn** Val **Thr** Asp Cys ...



Isolektrische Fokussierung (IEF)

Die Ladung eines Proteins in Lösung wird durch den pH bestimmt

- im sauren Bereich: R-COOH, R-NH₃+

- im basischen Bereich: R-COO⁻, R-NH₂

Aminosäuren mit potentiell geladene Seitenketten:

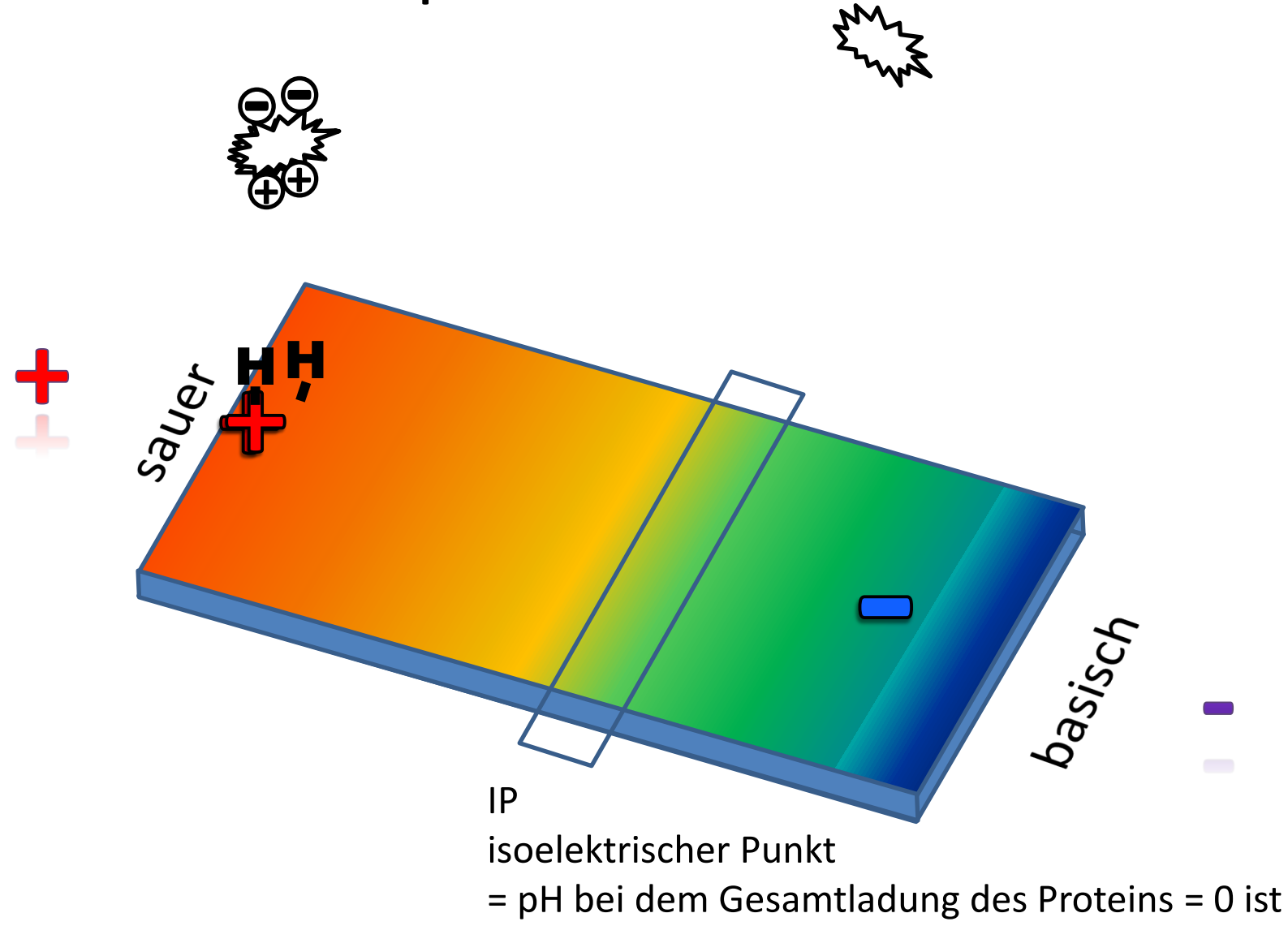
Asparaginsäure, Glutaminsäure,

Lysin, Arginin, Histidin

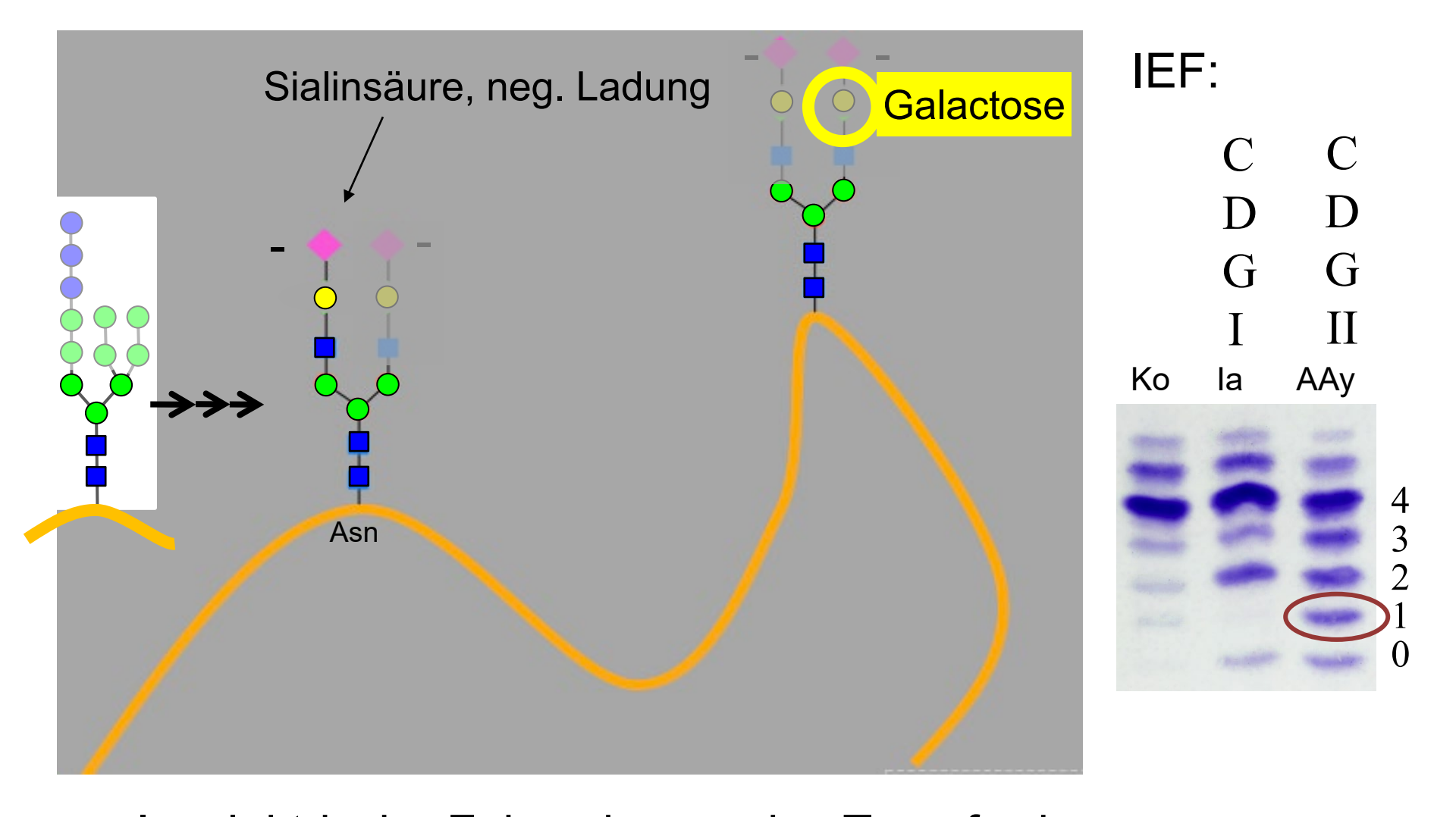
Cystein, Tyrosin (geben bei basischen pH Proton ab)

Außerdem: Sialinsäuren am Ende der Glykane

Prinzip isolelektrische Fokussierung in pH-Gradient

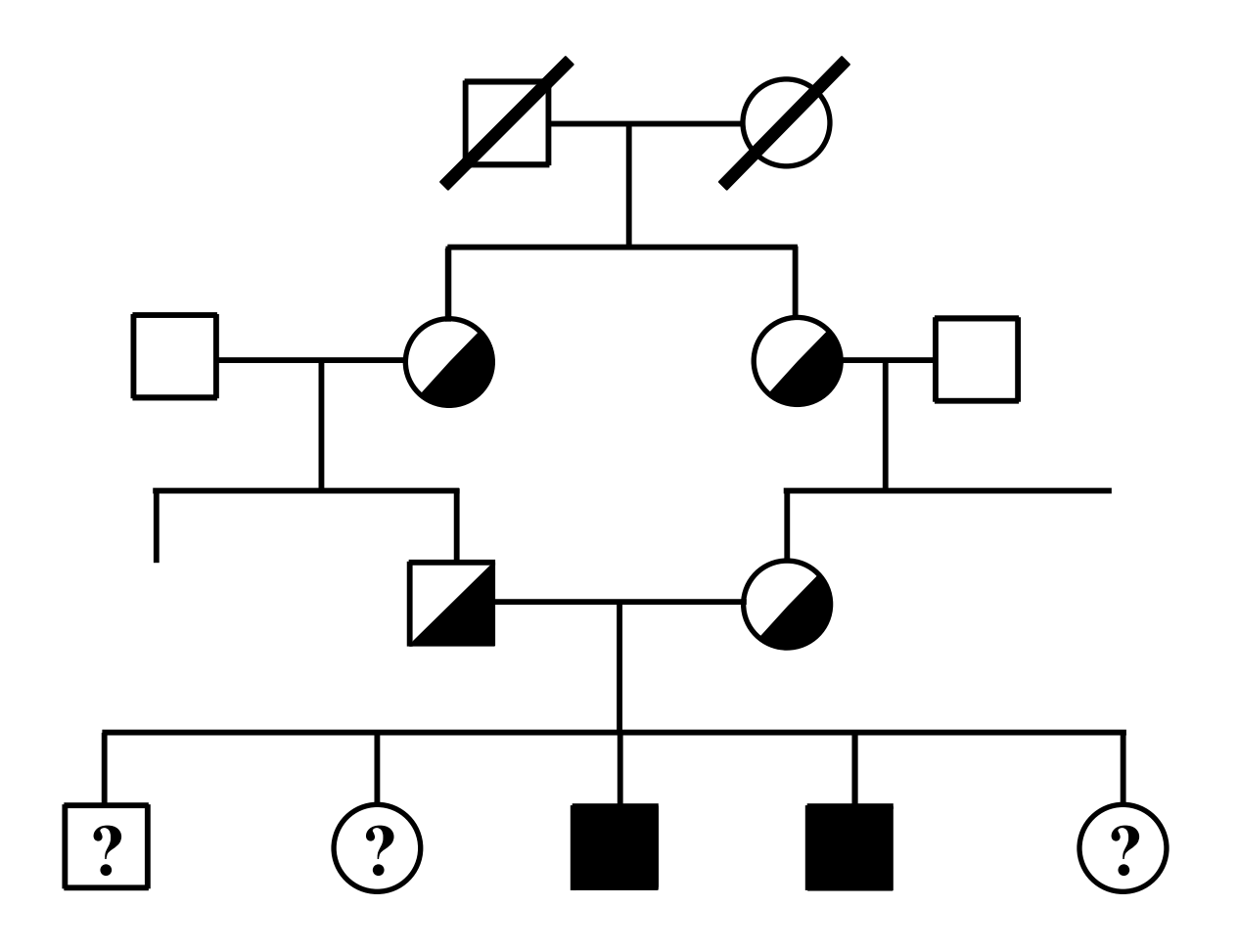


Transferrin-Glykosylierung



=> Isoelektrische Fokussierung des Transferrins wird genutzt zur Diagnose von Glykosylierungsstörungen

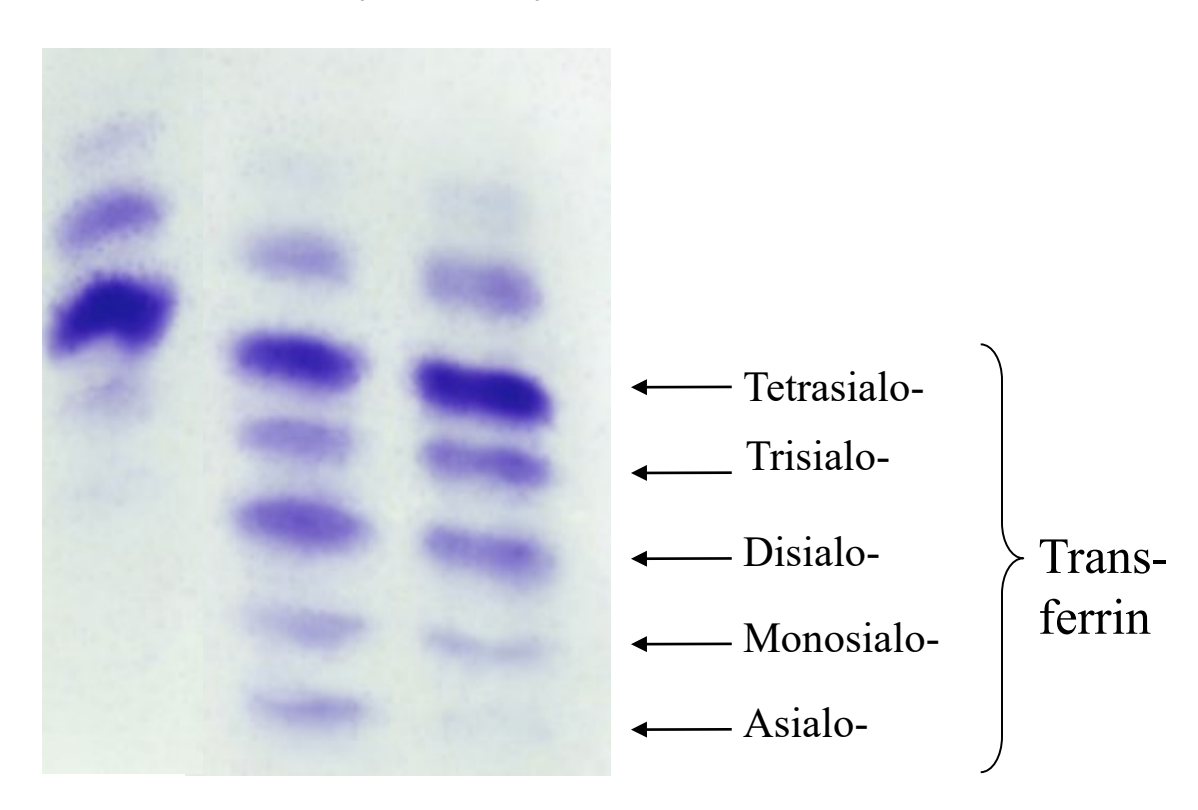
Stammbaum einer Familie mit CDGx



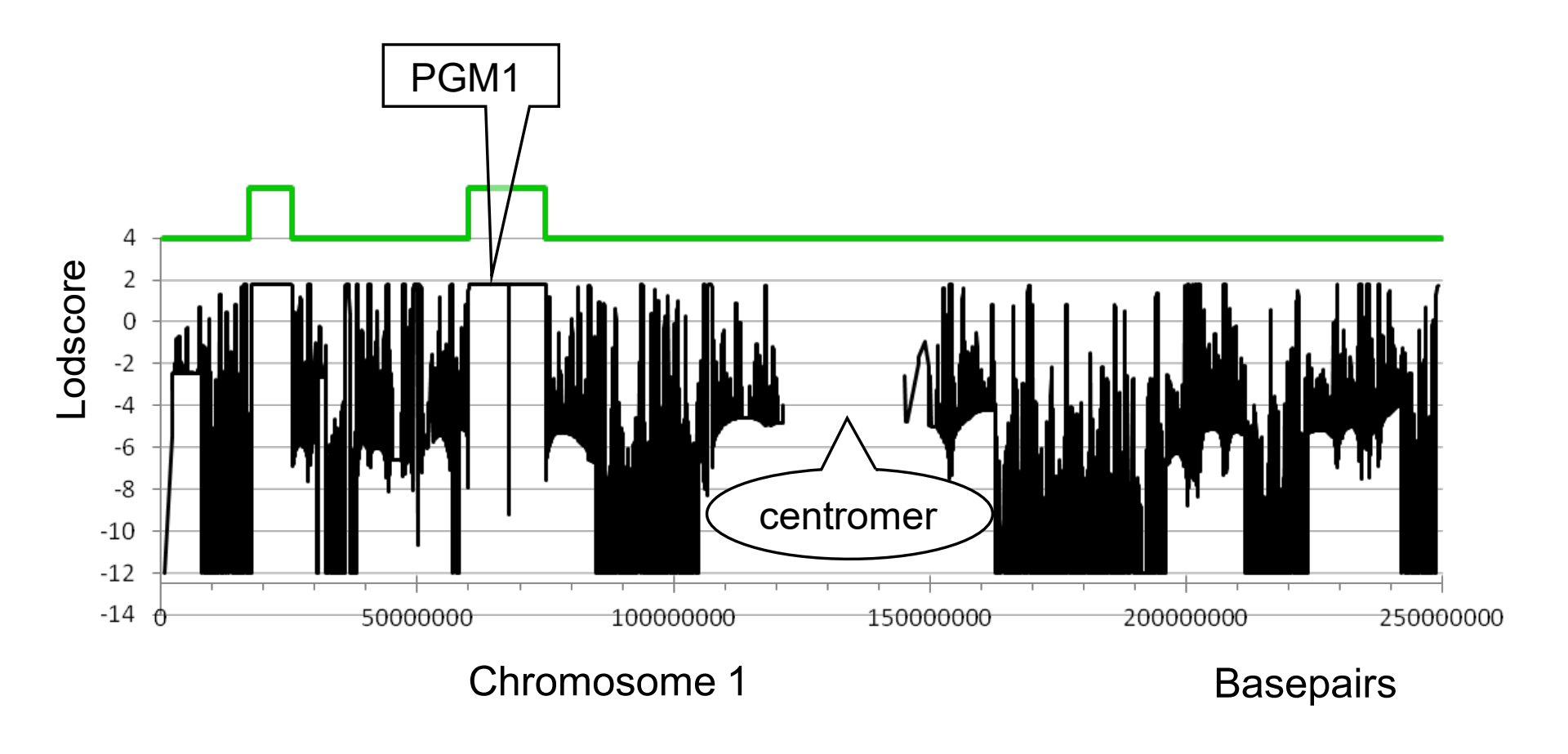
- 1. Homozygotiemapping
- 2. Next Generation Sequenzierung

(PGM1-CDG:) In der Isoelektrischen Fokussierung (IEF) von Transferrin zeigte sich eine Mischform CDG-I / II

Ko MAy AAy



Zusätzlich zu blaue-Punkt-Bildern: Linkage analysis mit "Merlin", hier Chromosom 1



In total: 87.37 MB in 12 regions of the genome

Anreicherung und Sequenzierung von interessanter Region oder Komplettsequenzierung von Patientengenom

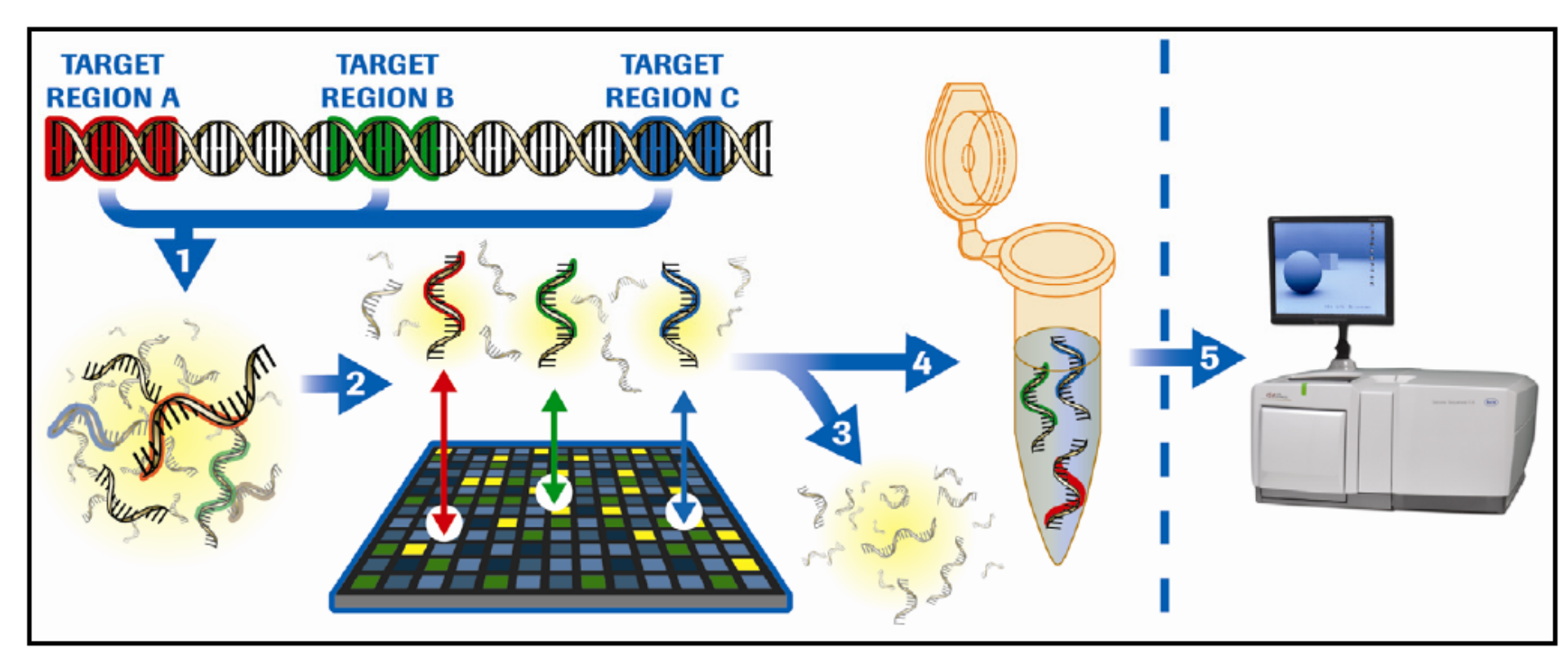
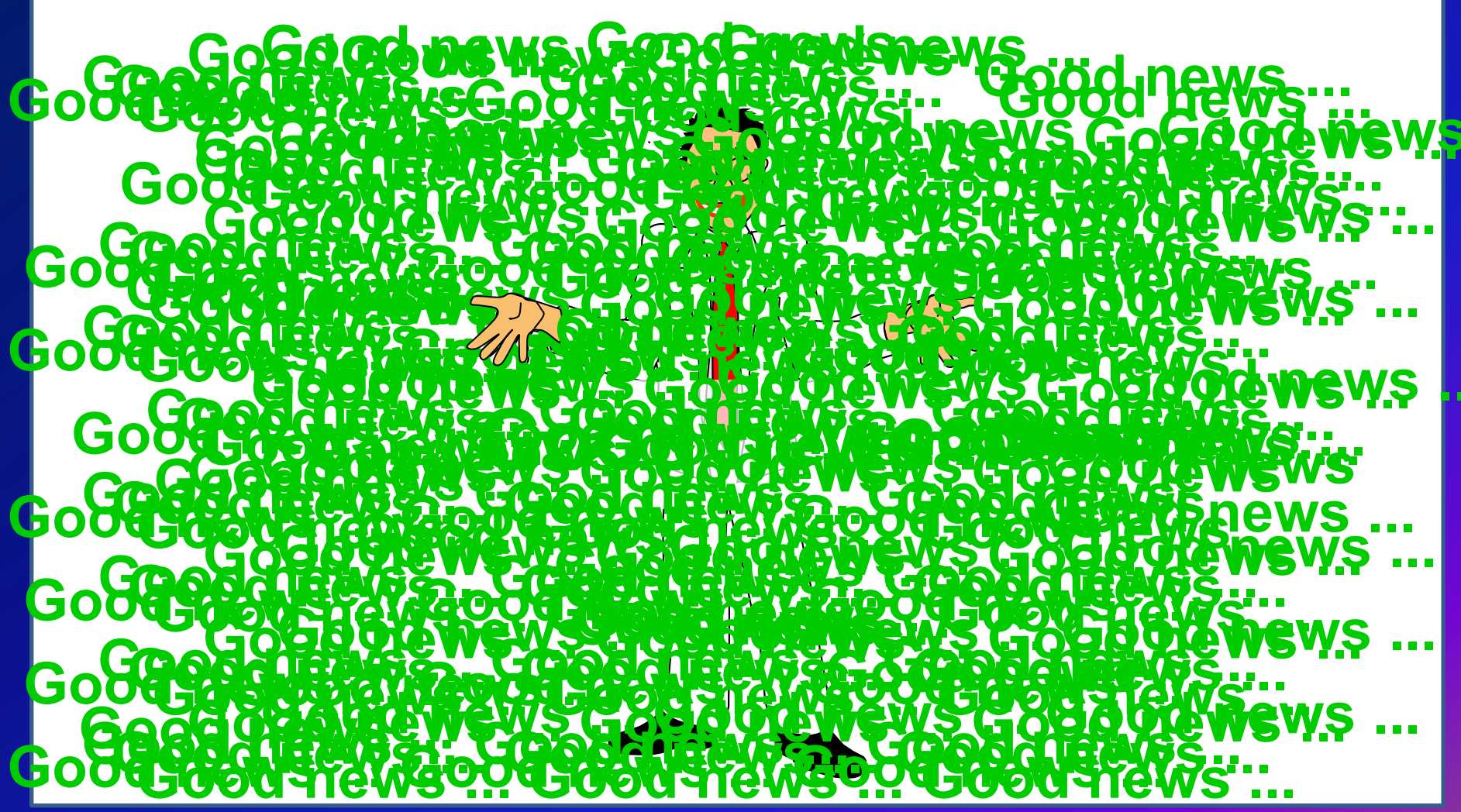
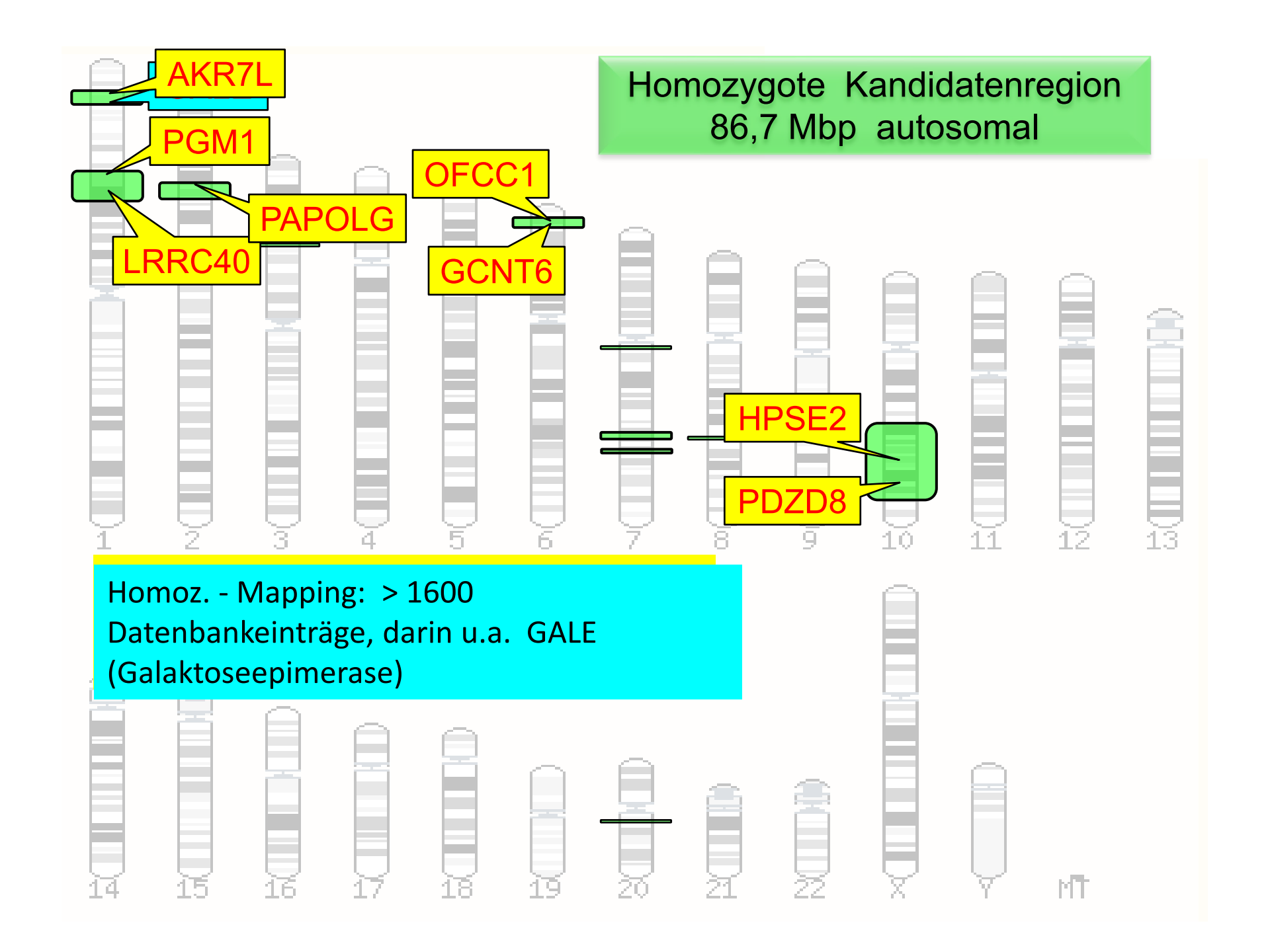


Figure 1: The NimbleGen Sequence Capture Protocol

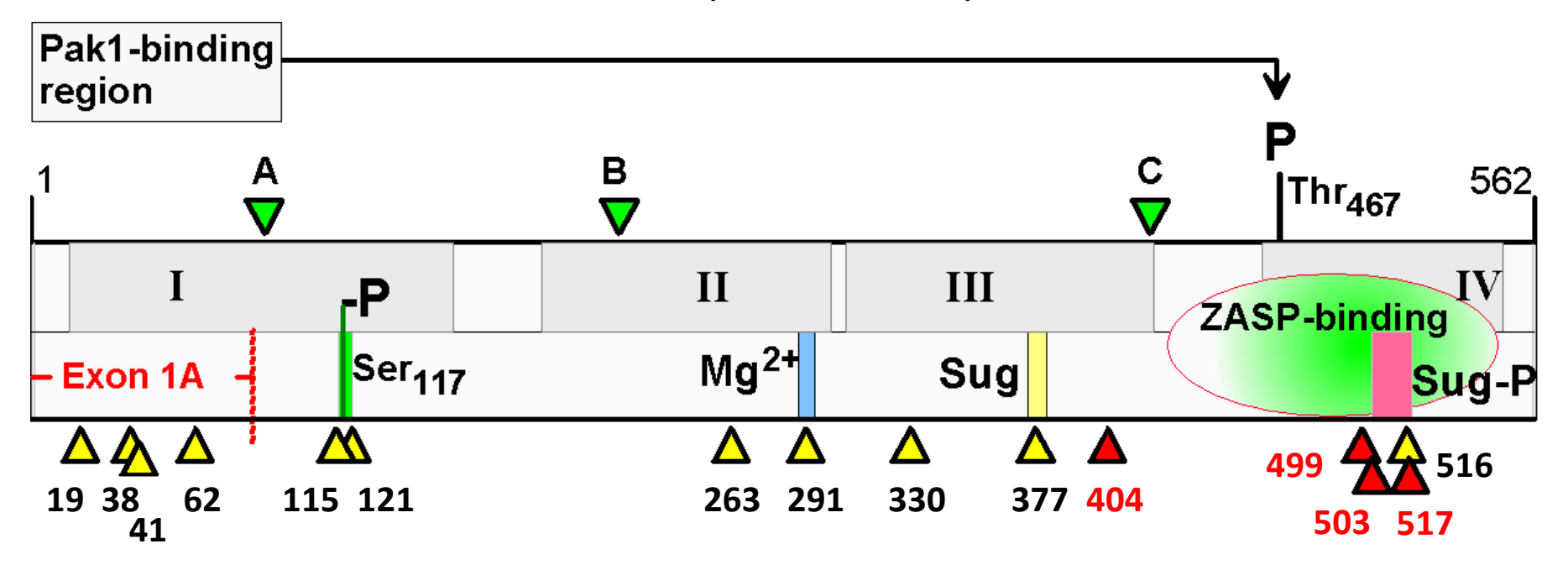
Agilent SureSelect

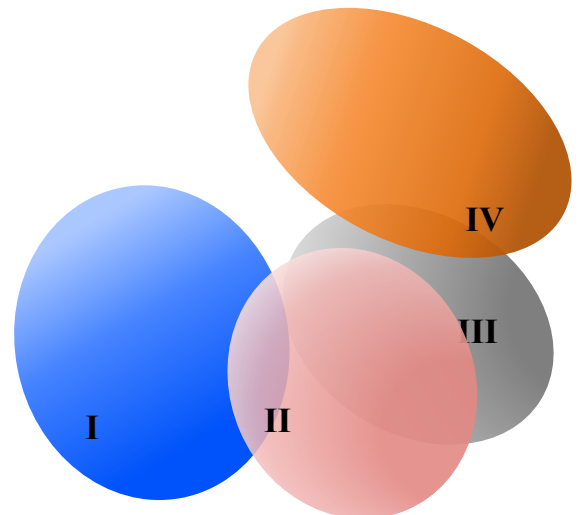
Was können wir erwarten vom "whole EXOME sequencing"?



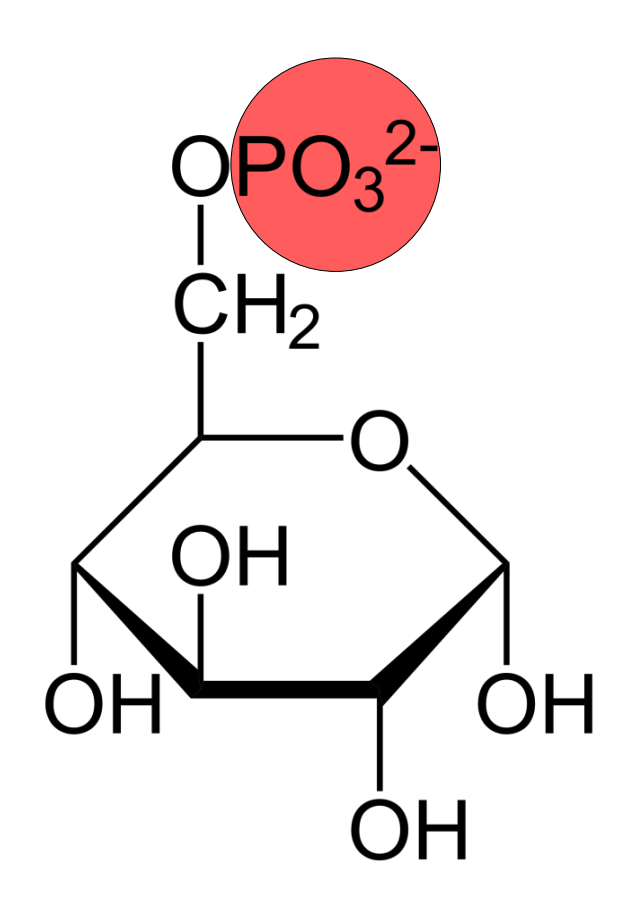


PGM1 – Struktur, Funktion, Mutationen

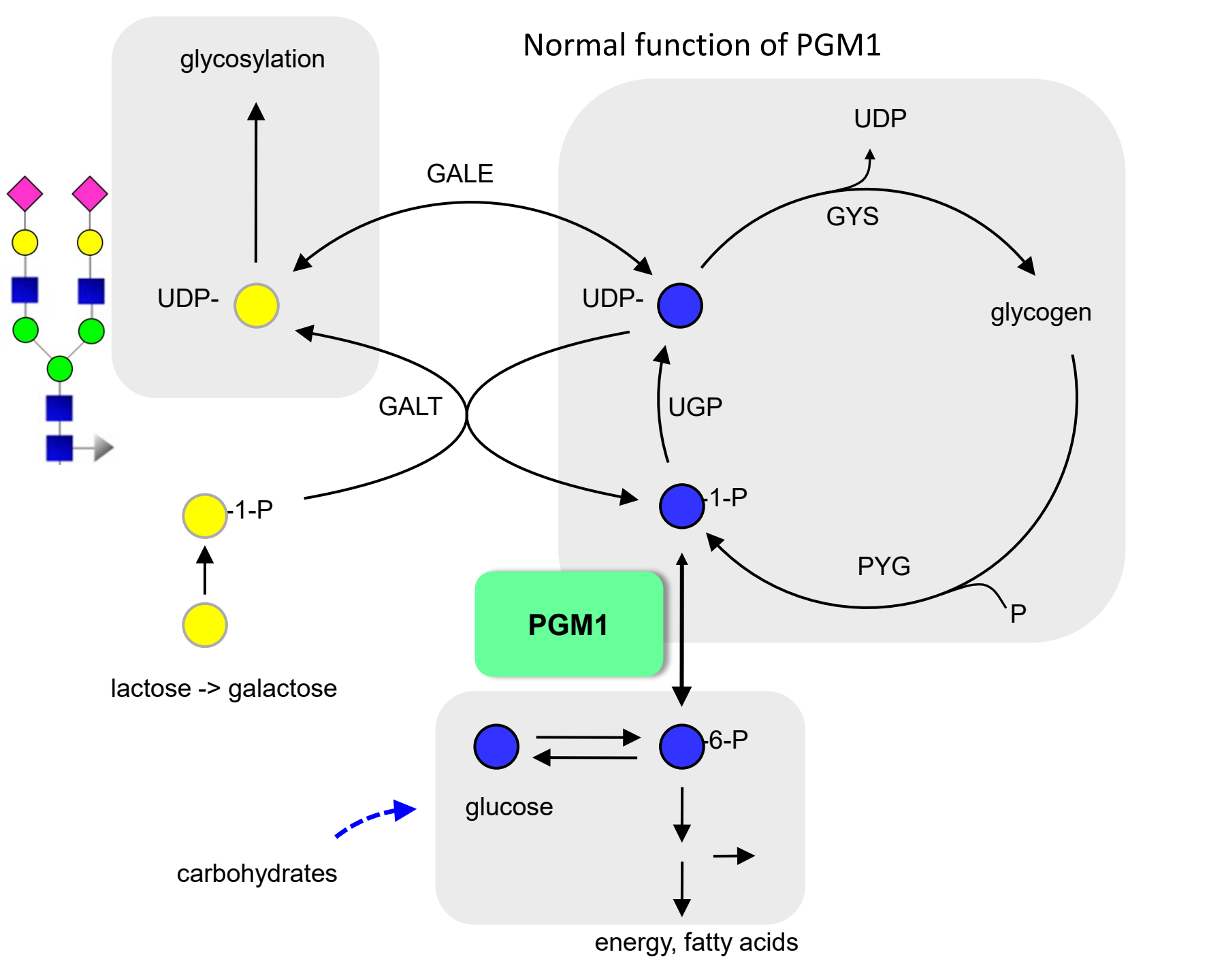


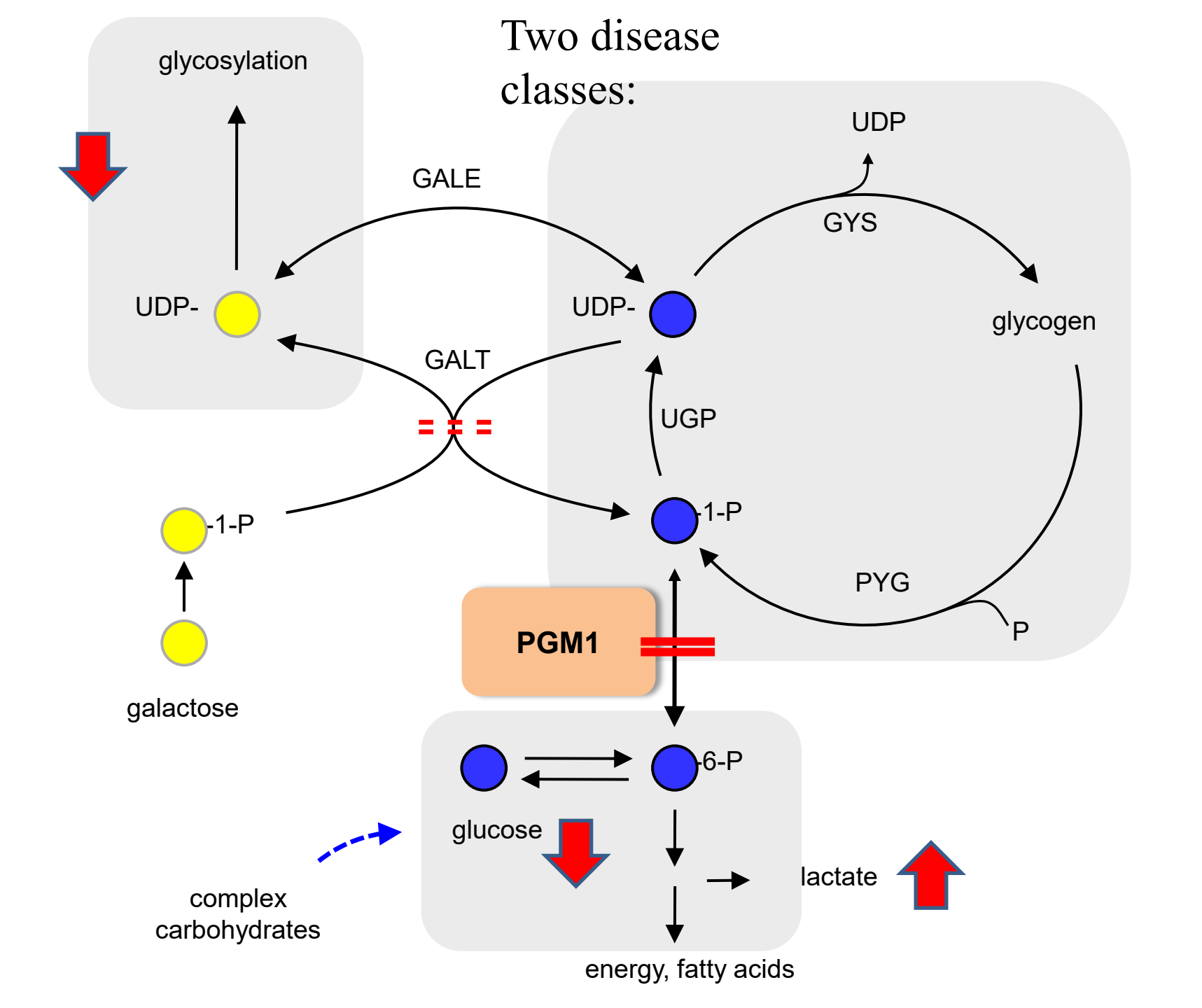


Phosphoglucomutase 1

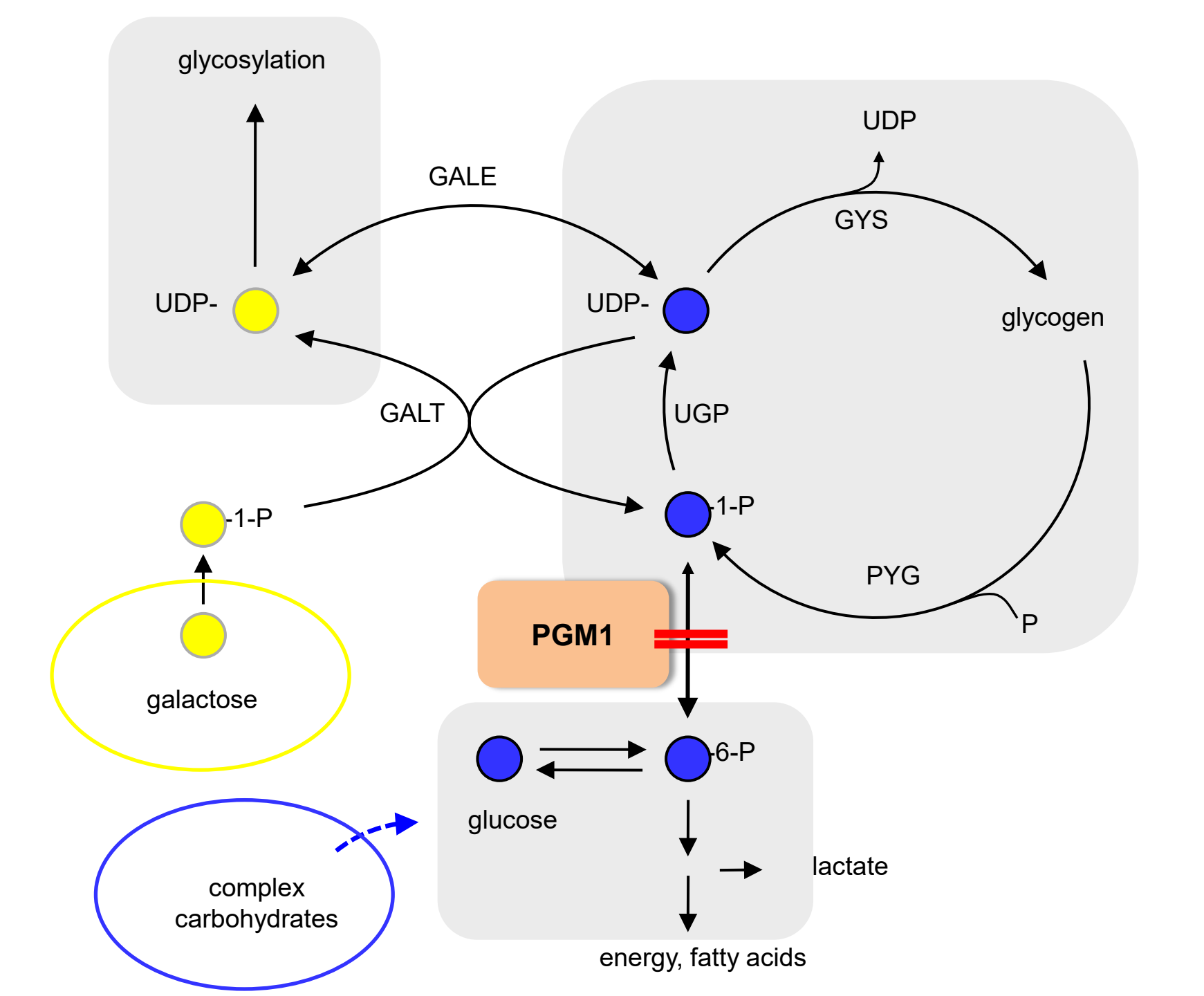


Gluc-6F6 BP

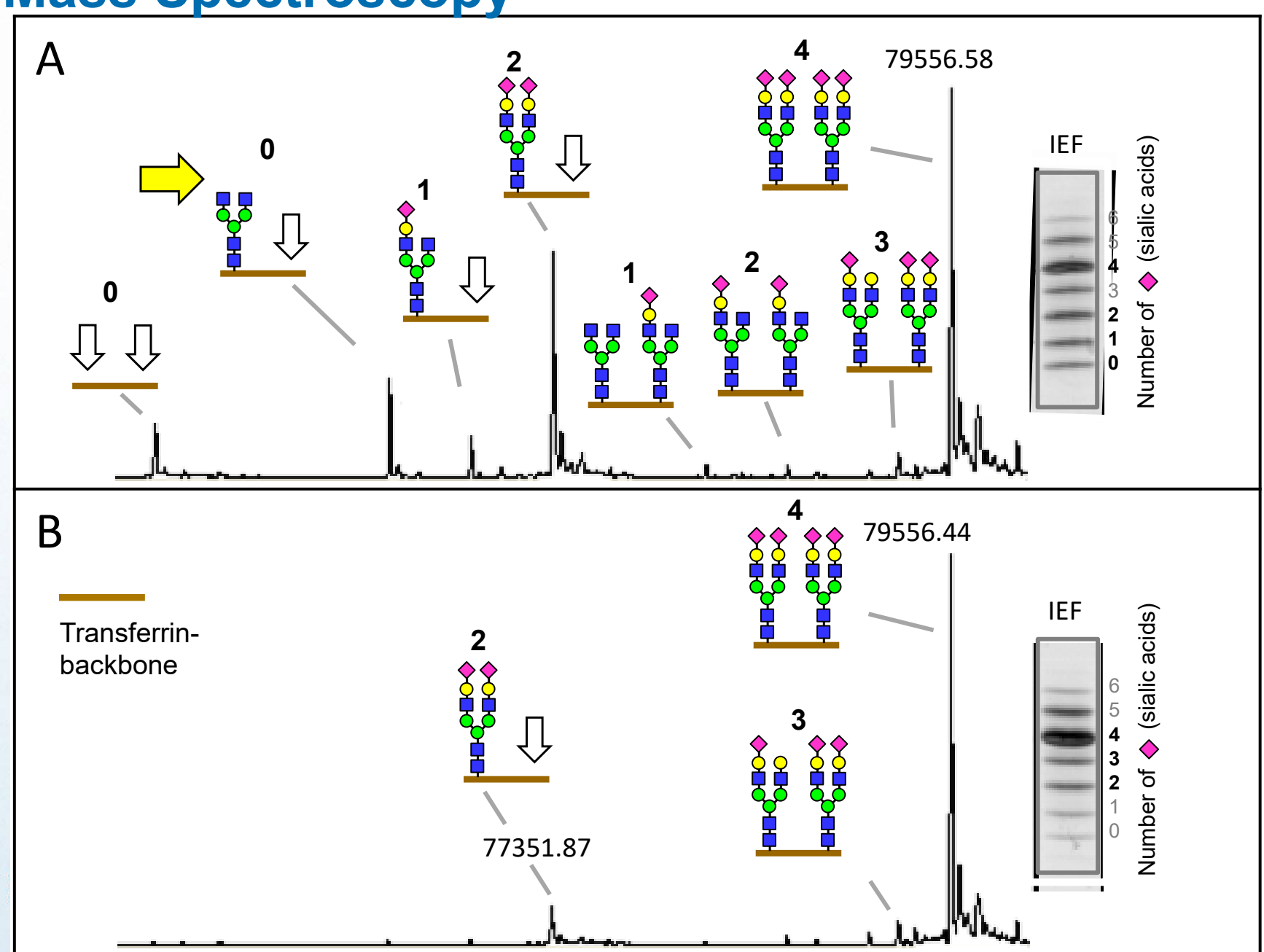




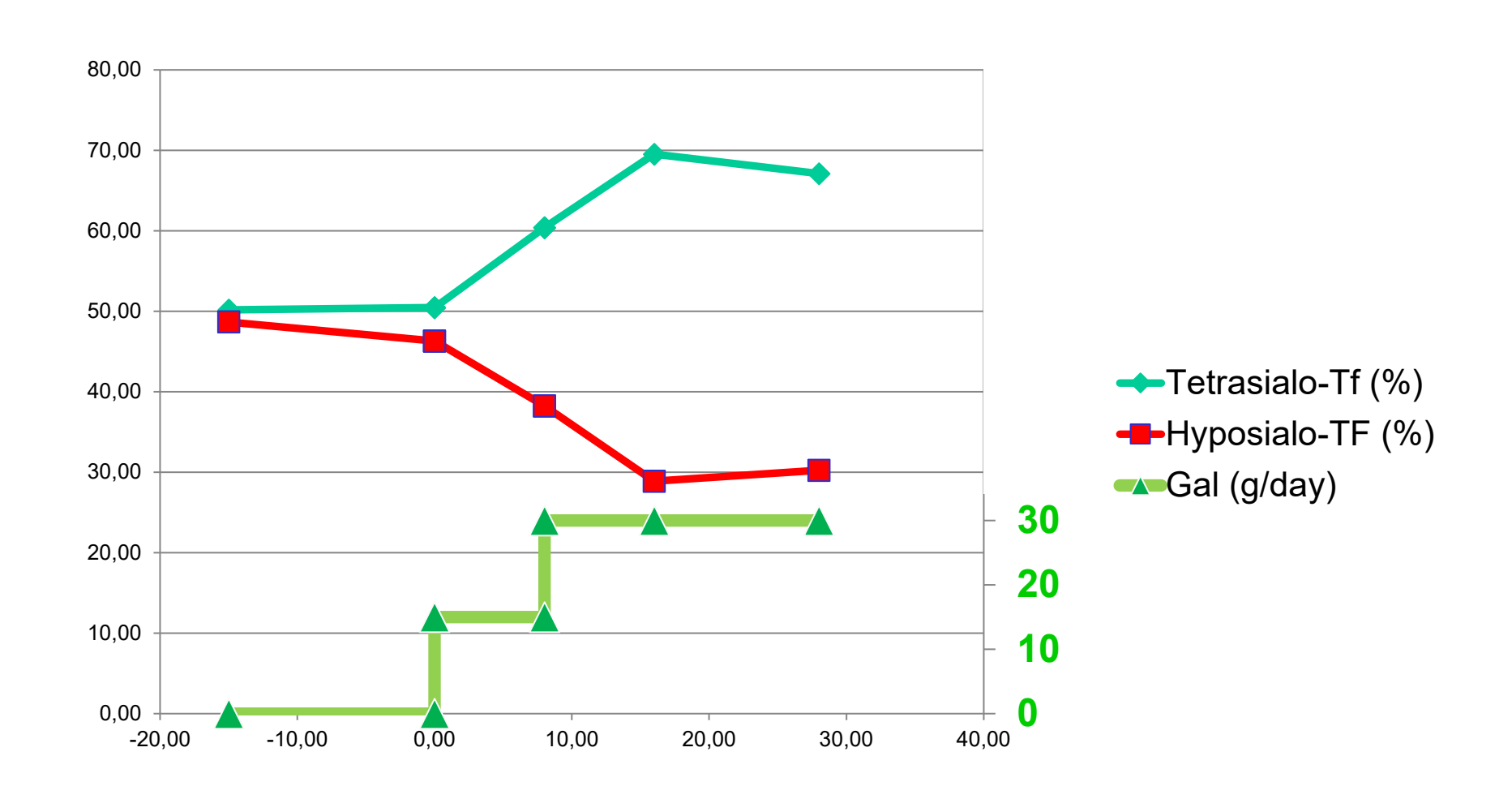
Nahrungsergänzung auf beiden Seiten der PGM1-Reaktion



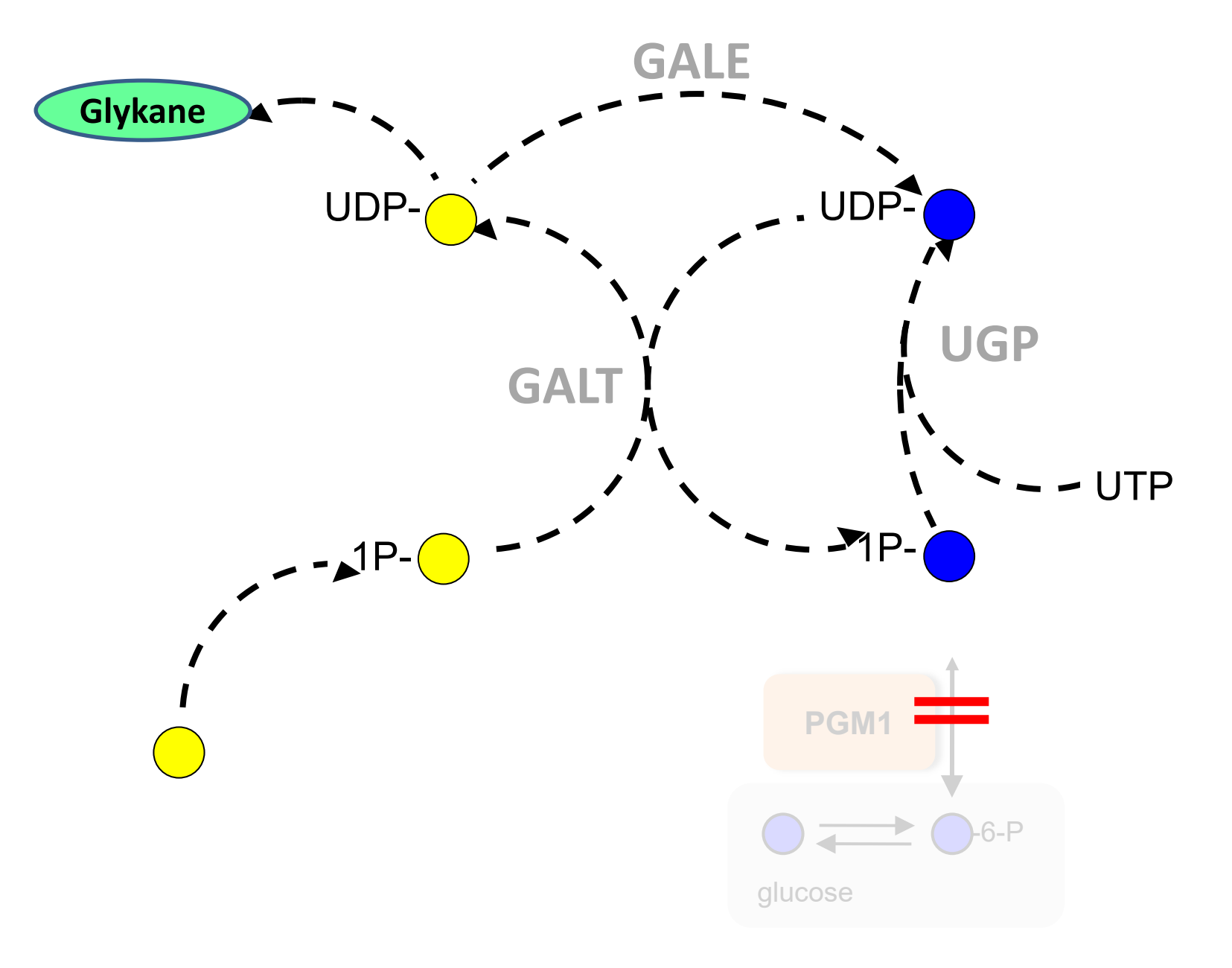
Mass Spectroscopy

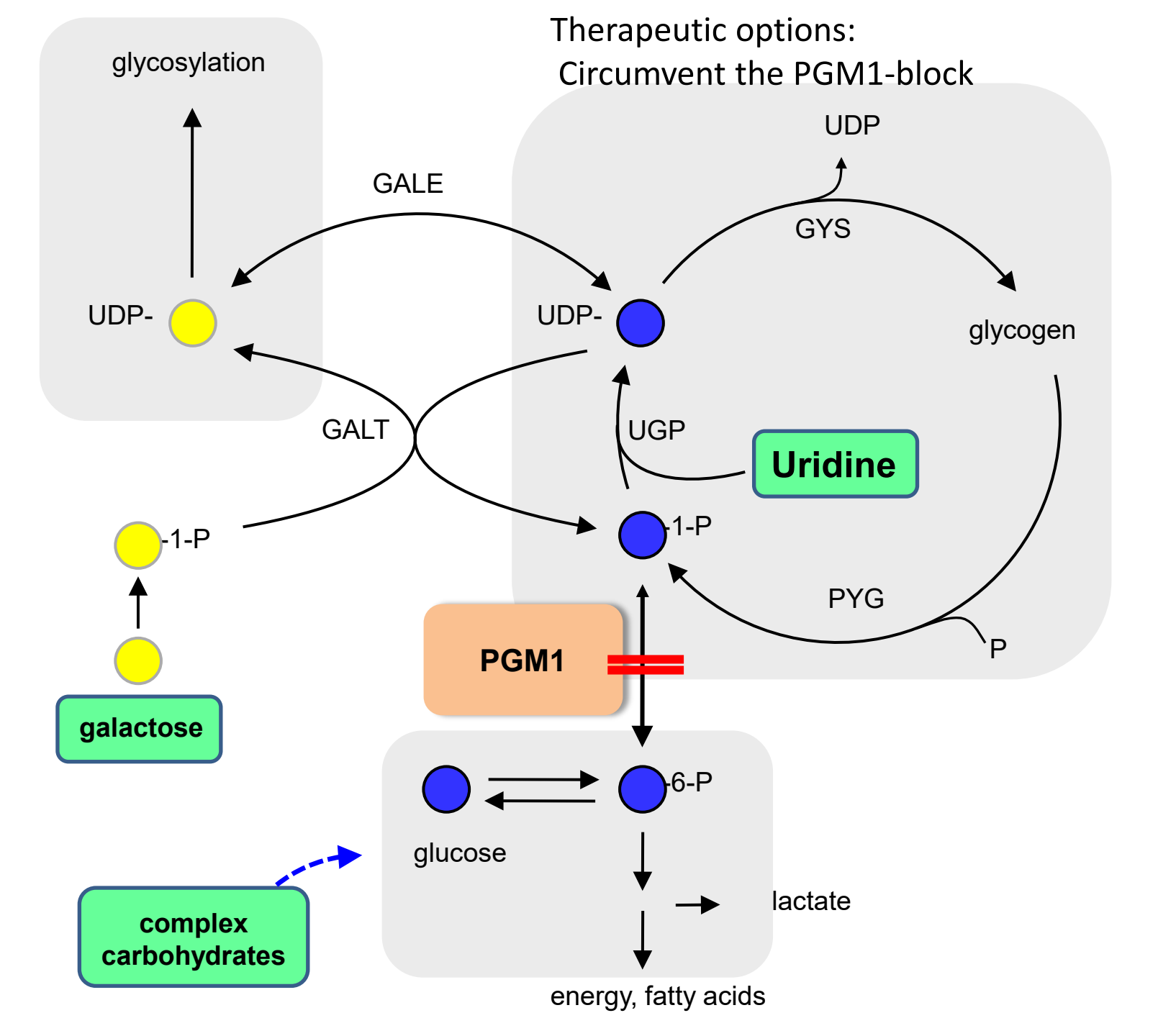


Galactose treatment of PGM1-deficiency tends to correct CDG:



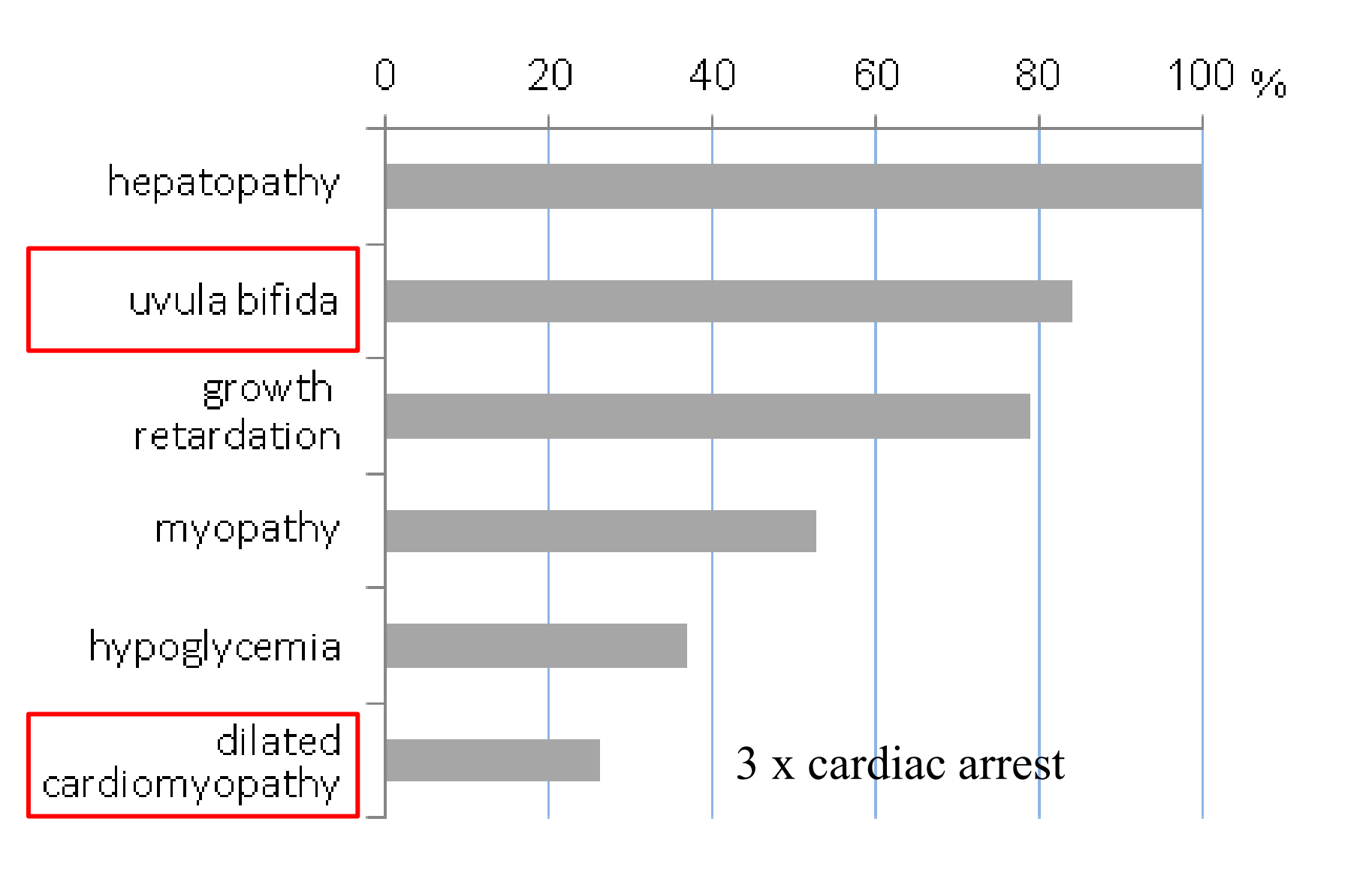
PGM1-Defect

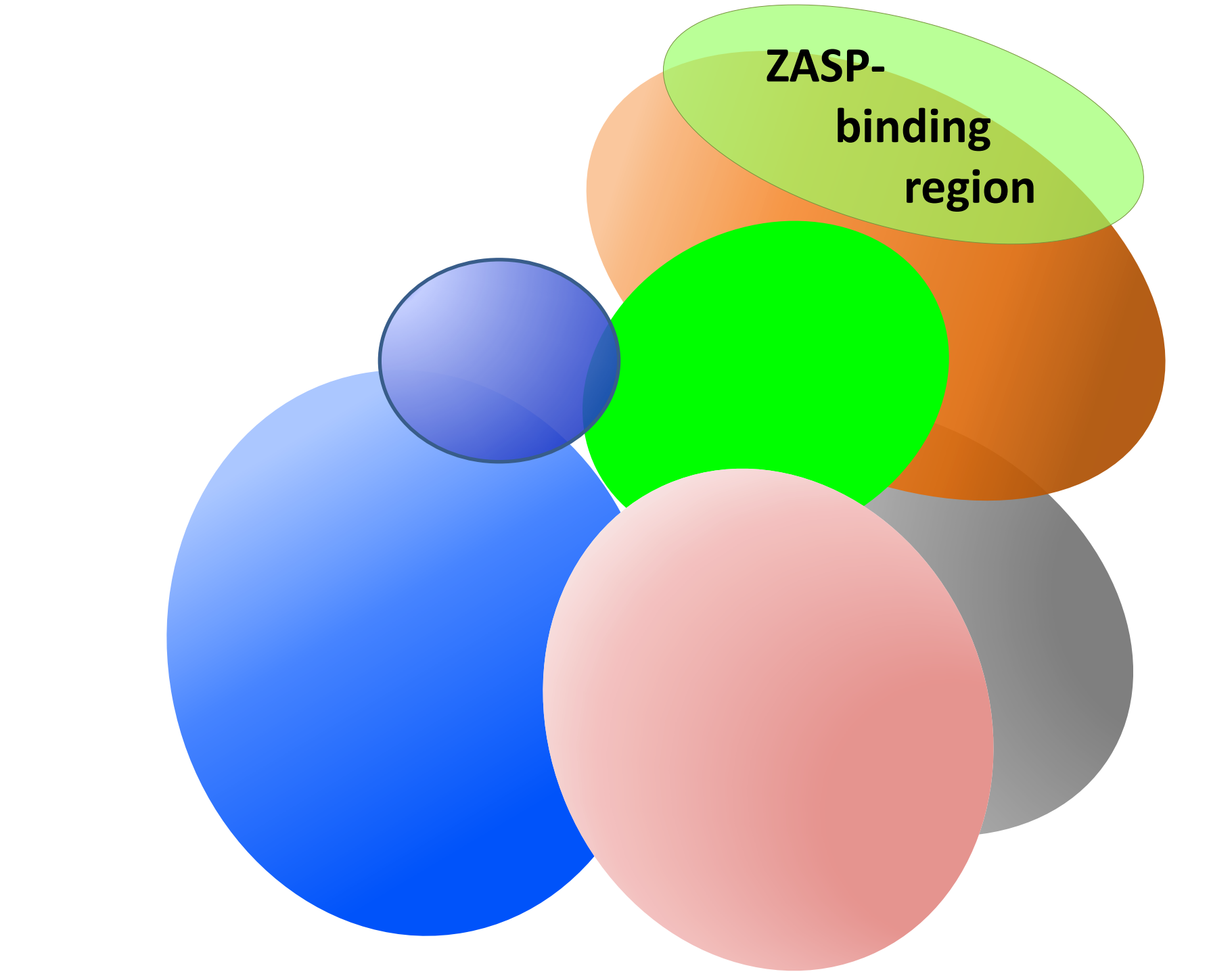




Symtoms of PGM1-deficiency

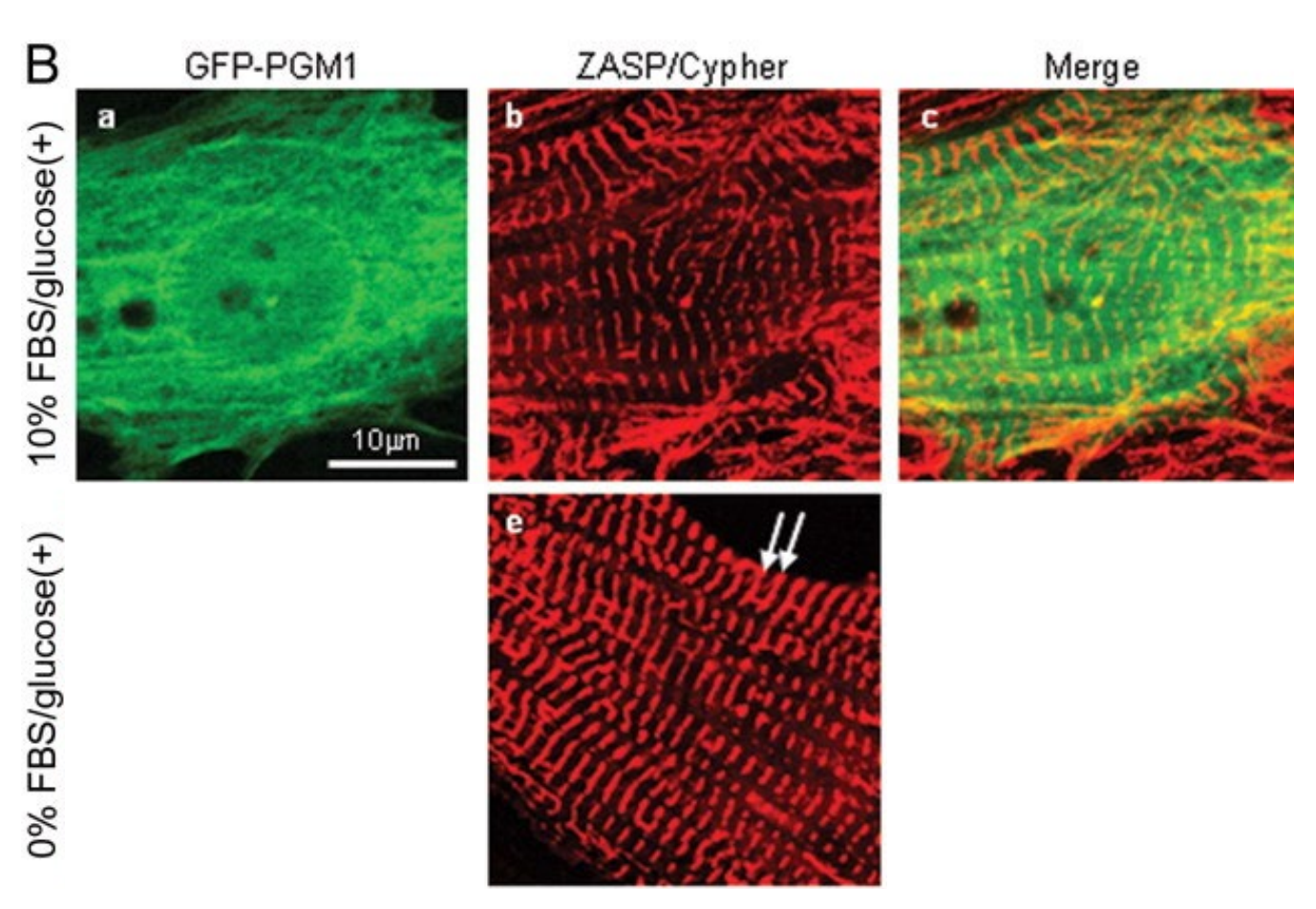






Fluorescence images of transiently expressed GFP-tagged PGM1

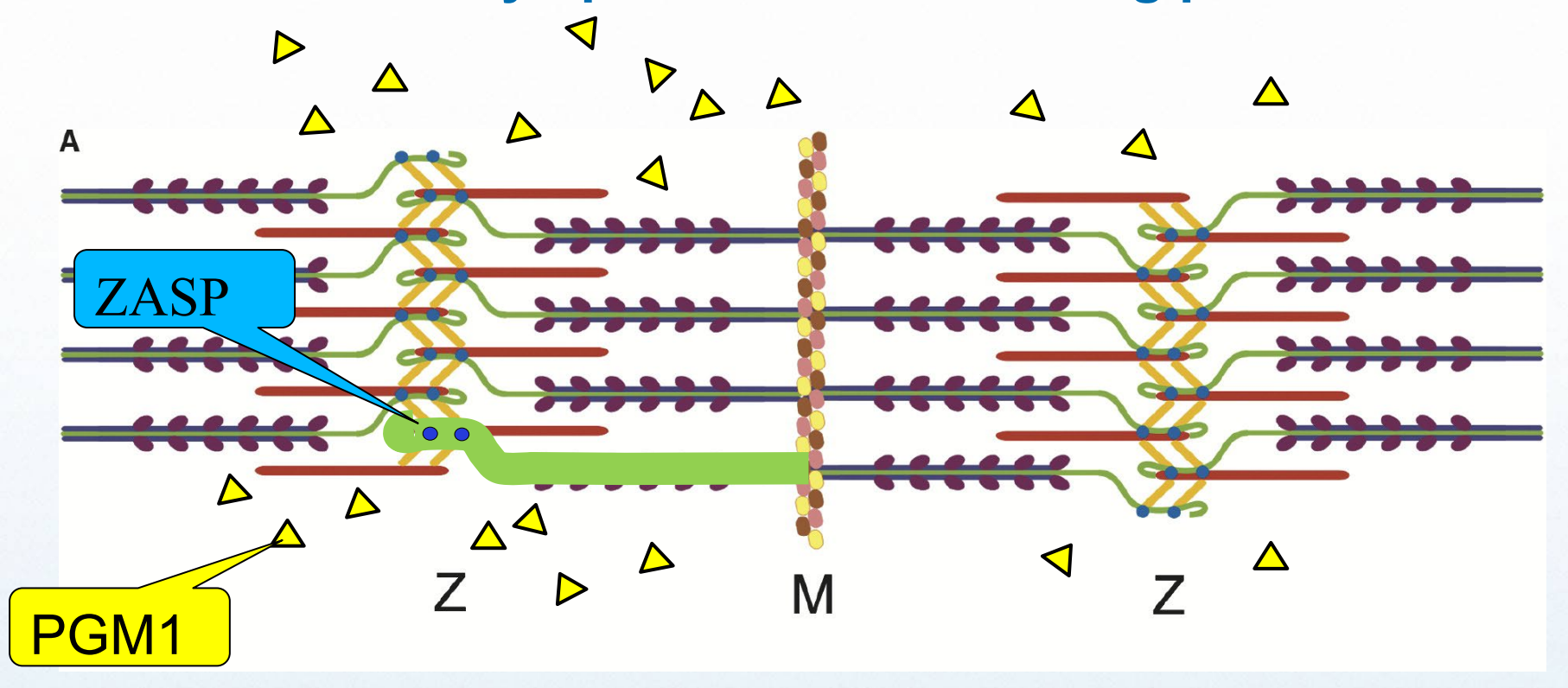
(in rat cardiomyocytes)



Arimura T et al. Cardiovasc Res 2009;83:80-88



Dilatative Kardiomyopathie - ZASP Z band alternately spliced PDZ-containing protein



- ZASP Defekt → keine Bindung von PGM1 → DCM

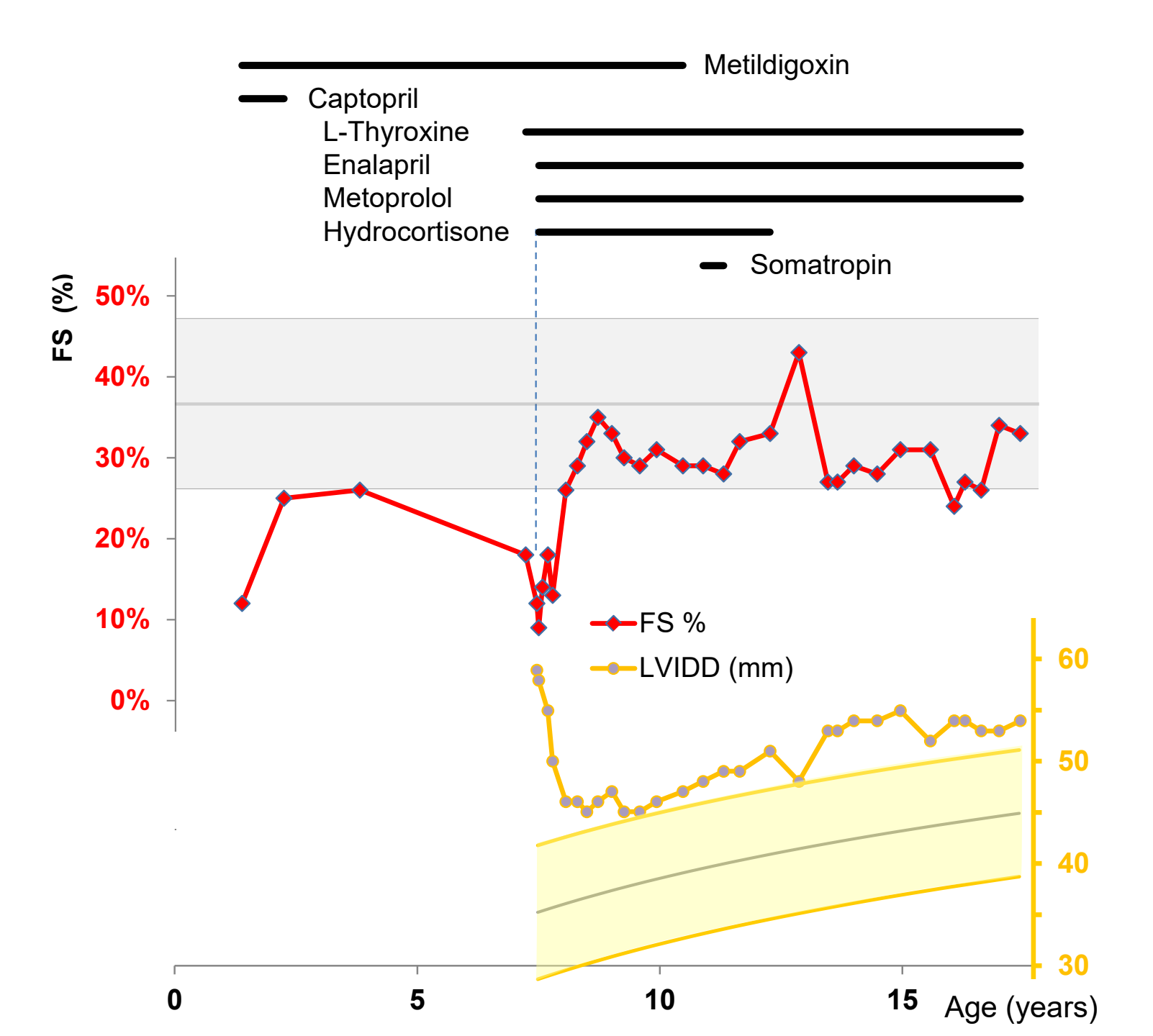
Arimura T, Cardiovasc Res (2009) 83, pp 80-8



Effekt wird sichtbar bei Entzug von Serum in der Zellkultur

Sichtbar nach 3 Tagen, evtl. durch Verbrauch der Fettsäuren, Umschalten auf Energie aus Glucose

Mögliche Therapie: Stabilisierung der Glucose und Lipide, Vermeidung von Glucose Bolus Komplexe Kohlenhydrate



Therapeutic options

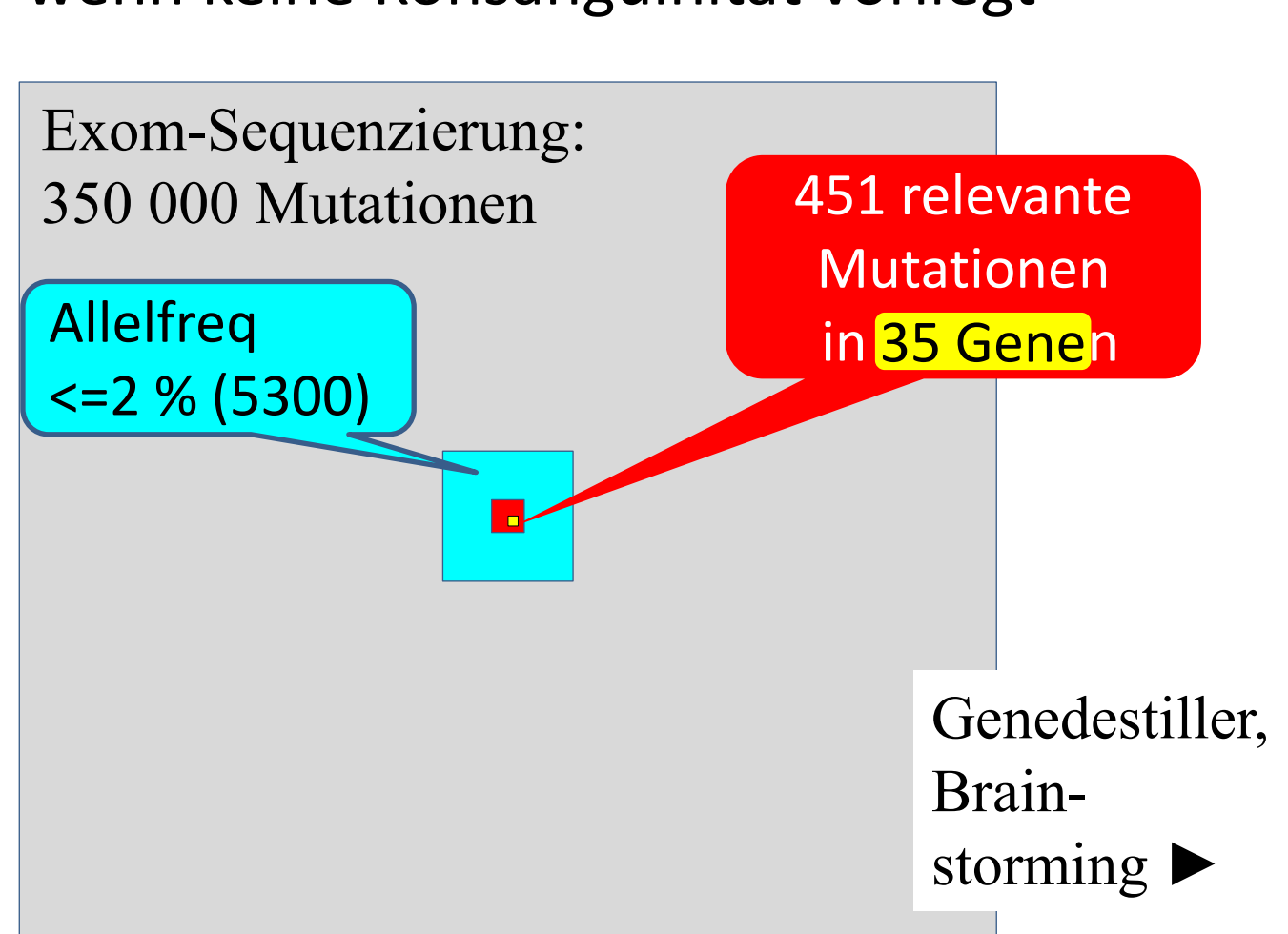
```
I: Circumvent the PGM1-block
Normalization of glucose & glycosylation:
galactose & uridine
complex carbohydrates
```

II: Myopathy, DCM
improved fatty acid use:
training below aerobic threshold to improve
oxidative capacity

MCT, heptanoic acid, citrate

=> Newborn screening

Aufspüren des ursächlichen Gens – wenn keine Konsanguinität vorliegt



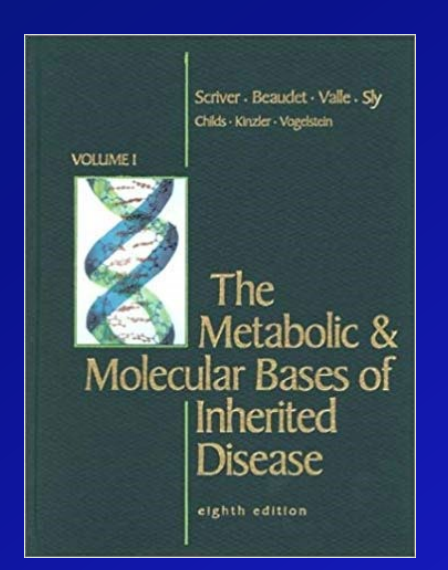
Stand seit ca. 2017: fast immer Triom-Analyse => Neumutationen bei Kind erkennbar

ADAMTSL4 AGAP3 ATP5A1 **BCLAF1** CDC27 CTDSP2 DAAM2 FAM131C FAT2 FAT4 GFI1 GGA1 HIP1R KCNT1 **KIAA0319** KIR2DL3 LRP12 LSMD1 **MSLNL** NCOA7 ND5 PIEZO1 PIK3C2G PKHD1L1 POU2F3 RBFOX3 SH3BP4 SLC39A8 **TBP** TEKT4 TLN2 USP48 **WDR74 ZNF138 ZNF423**

genesymbol

#Mut

Effizientes SNP-Chip basiertes Mapping und "next generation sequencing", oft Triom beschleunigen die Aufklärung der "molecular basis of inherited disease"



Konsequenzen:

Pränatale und prä-Implantations-Diagnostik möglich

Gezielte Therapie oft möglich (Enzymersatztherapie, einfache Nahrungsergänzung oder ...

Laura Tegtmeier

Janine Reunert

Julien Park

Marianne Jansen-Rust

Tanja Seehafer

Anika Sietmann

Thorsten Marquardt

Volker Debus

Anja Seehöfer

Stephan Rust

Melanie Bach

Michaela Schreiner

Michaela Tirre

Universitätsklinikum Münster Klinik für Kinder- und Jugendmedizin

LIFA (geschlossen)

Stephan Rust, Tel. 83 - 5 5182 rusts@uni-muenster.de